



Биоинформатика

2018

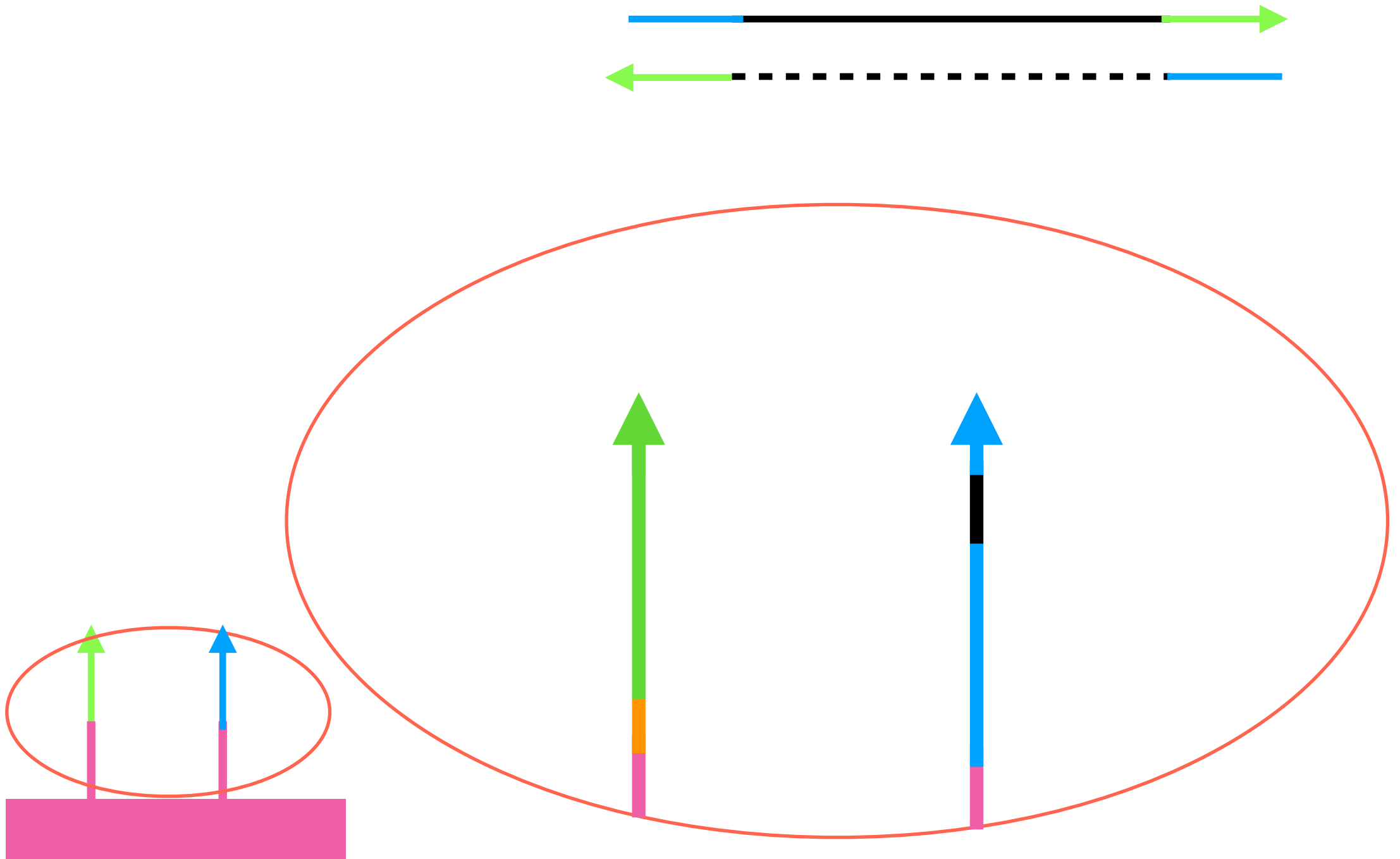
Лекция 6

Герасимов Евгений Сергеевич

jalgard@yandex.ru

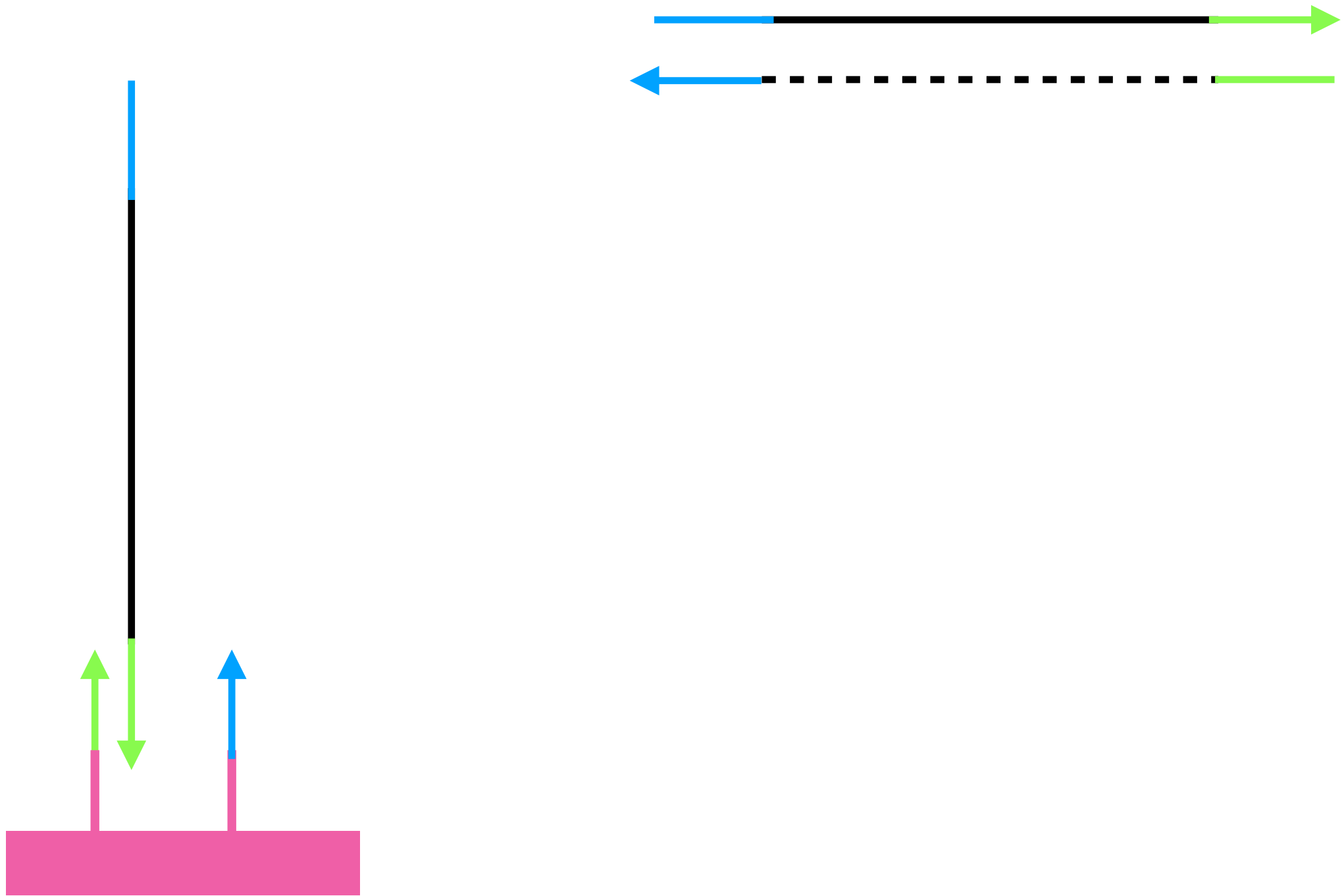
Парно-концевые риды

Paired-End sequencing



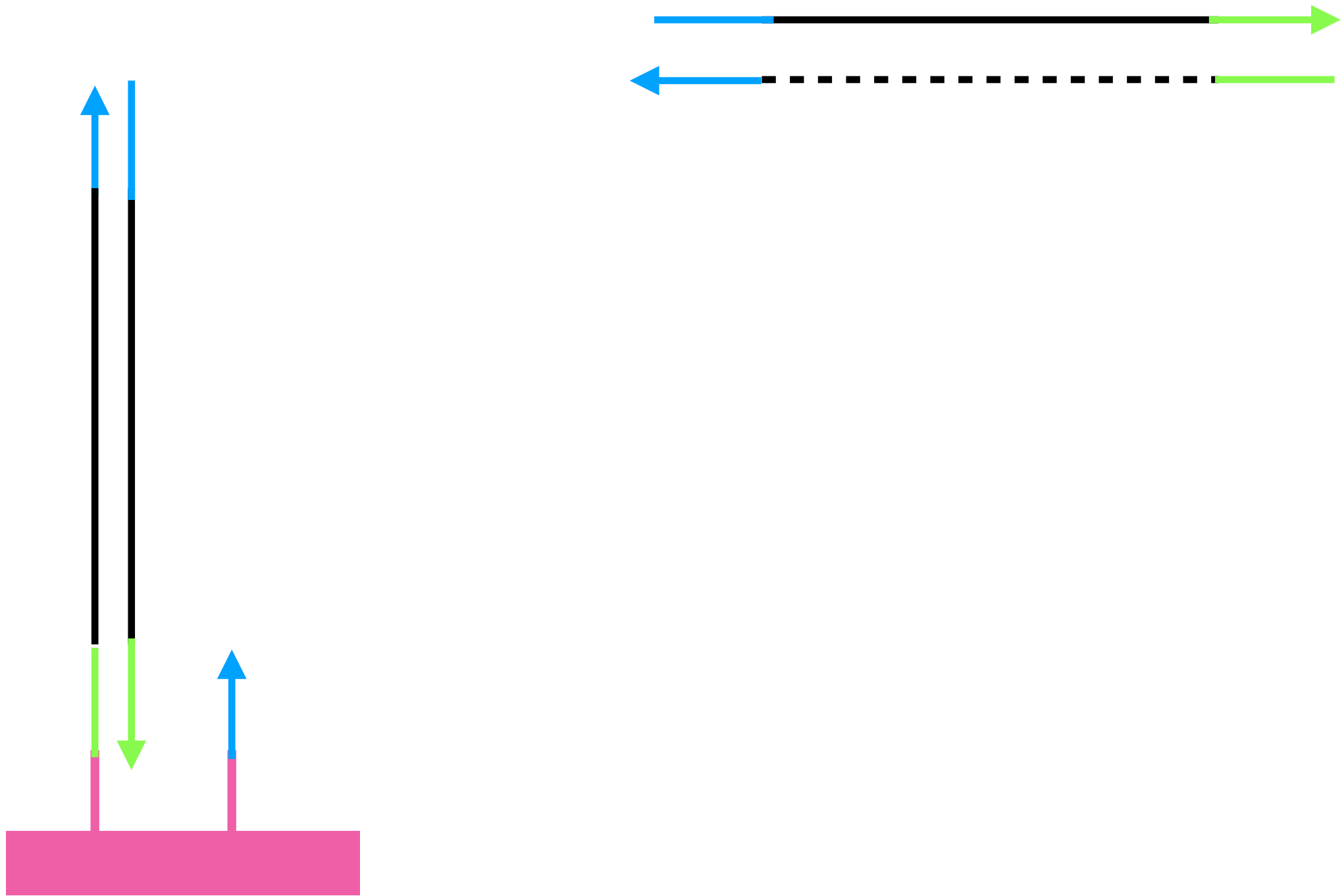
Парно-концевые риды

Paired-End sequencing



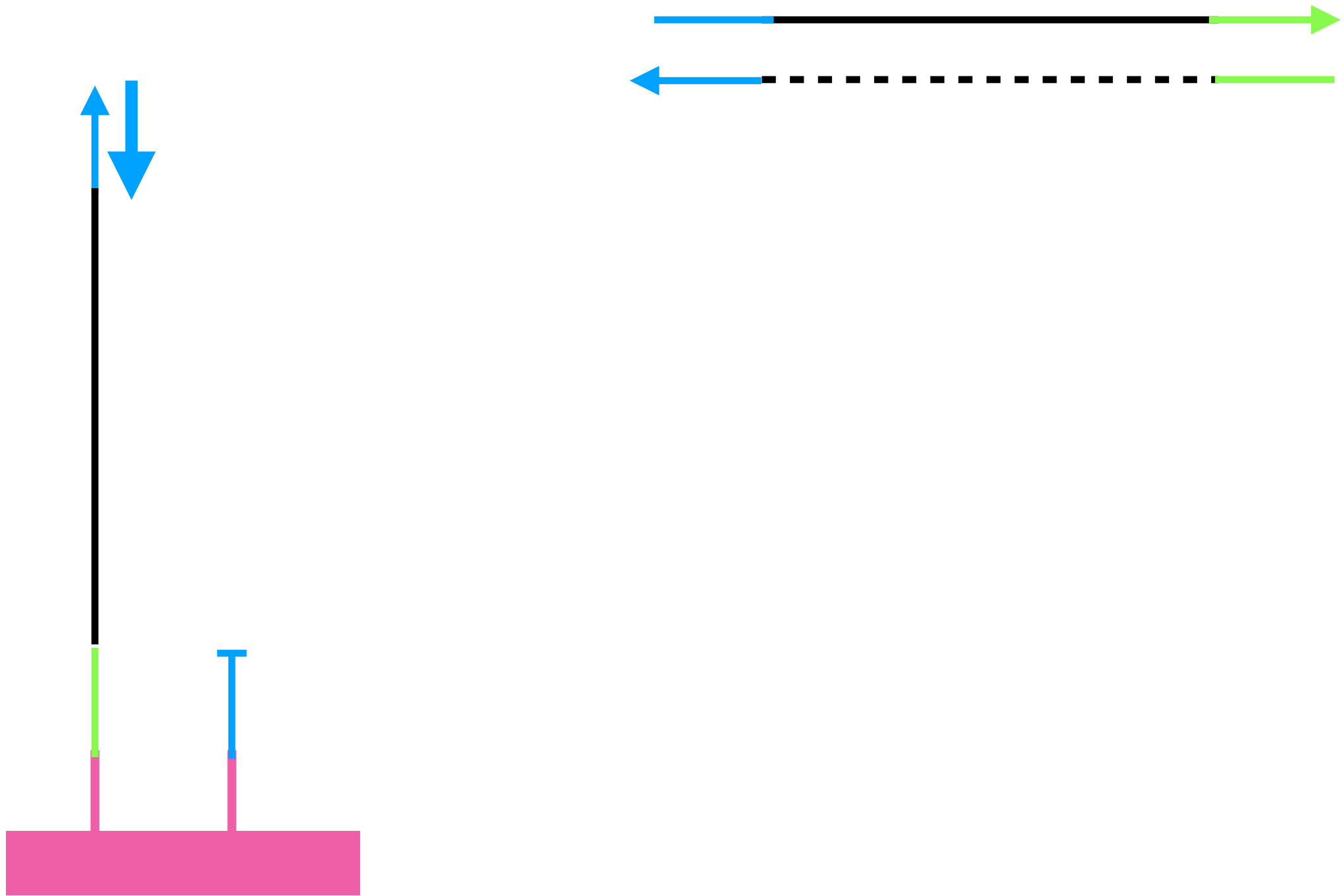
Парно-концевые риды

Paired-End sequencing



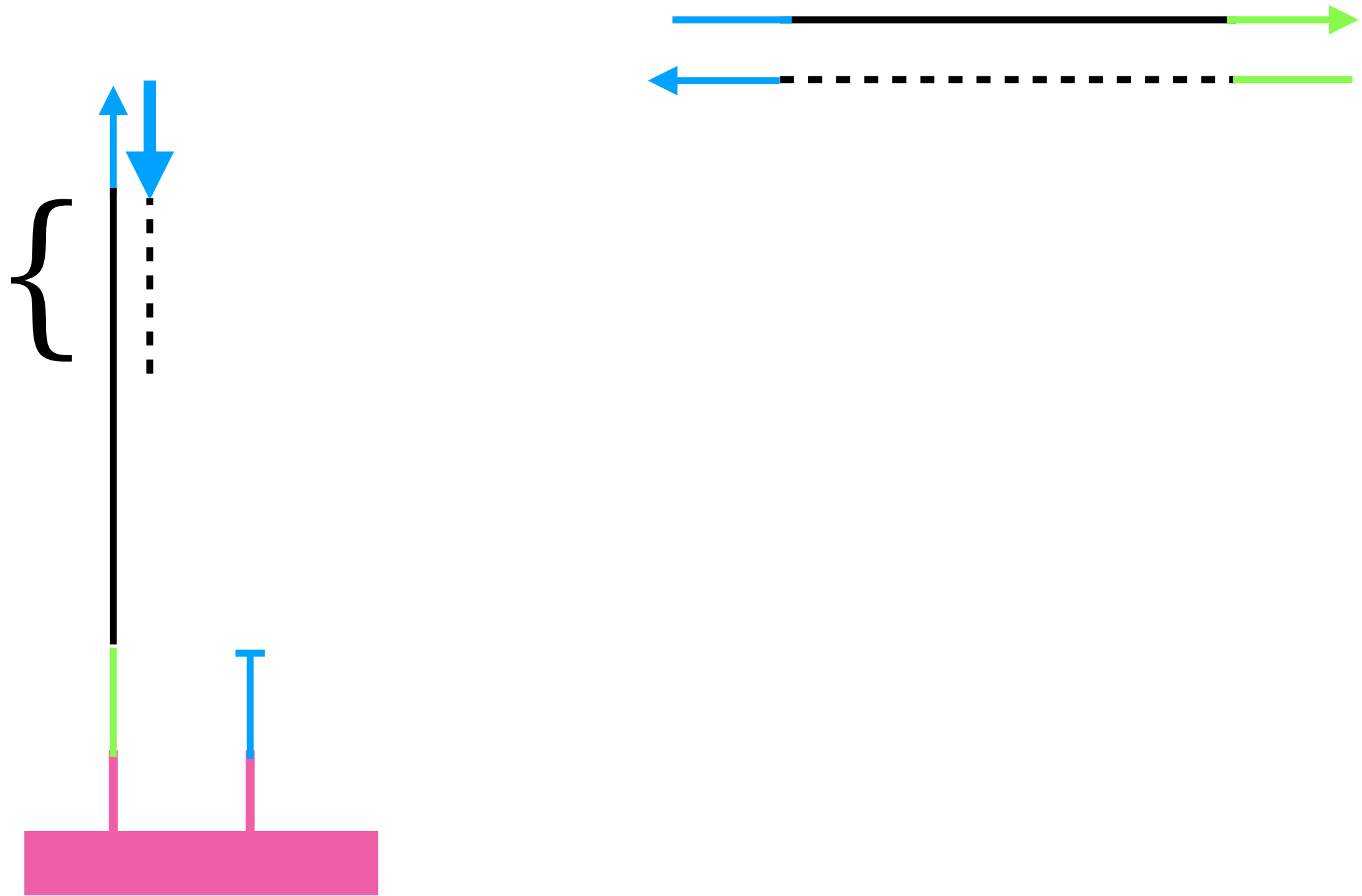
Парно-концевые риды

Paired-End sequencing



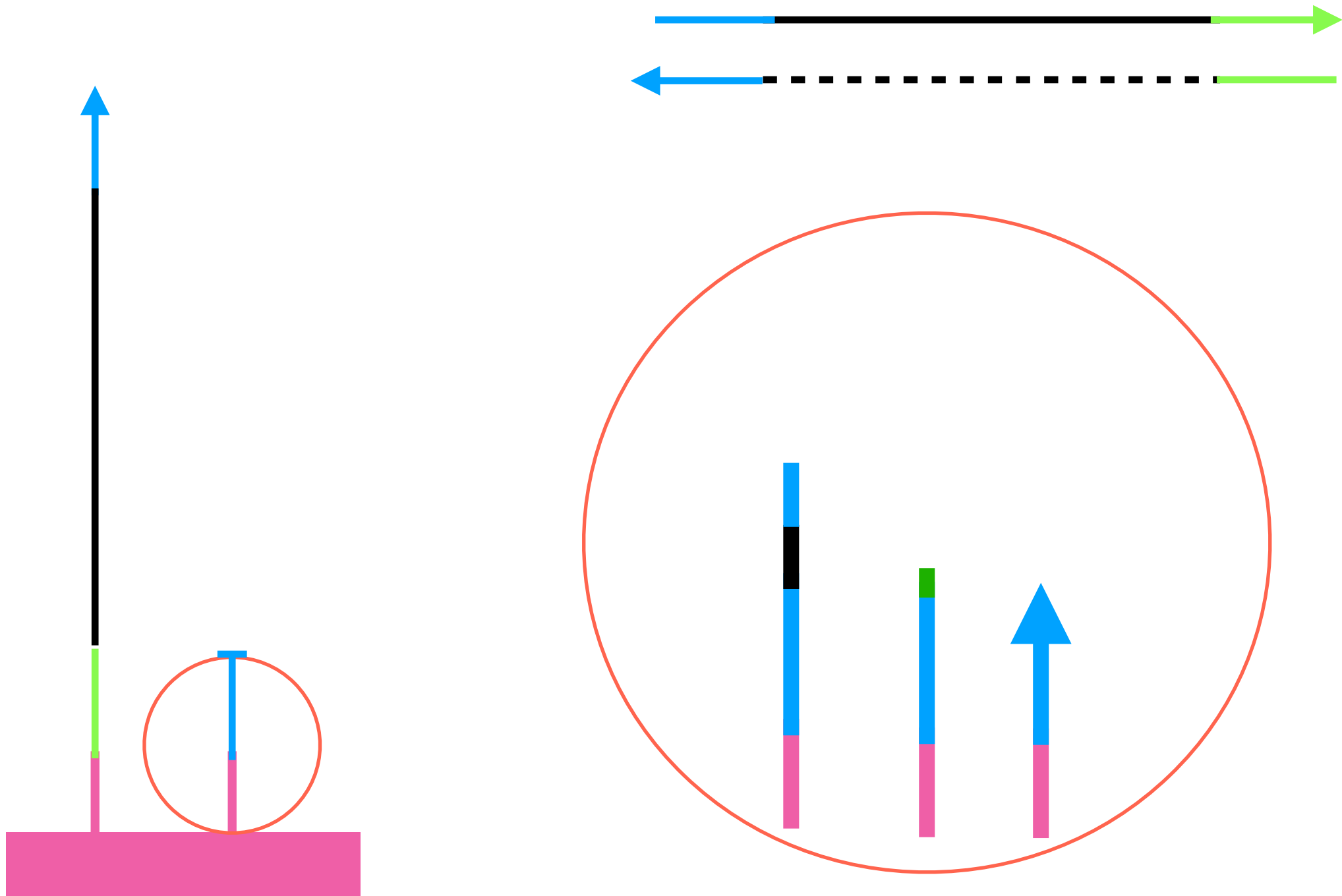
Парно-концевые риды

Paired-End sequencing



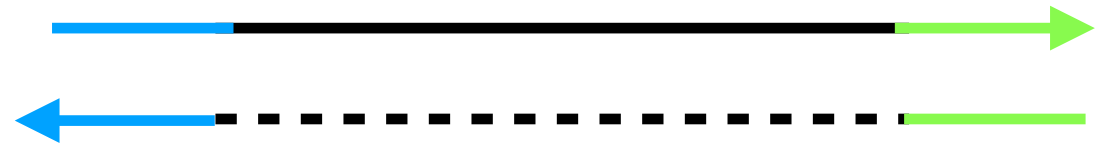
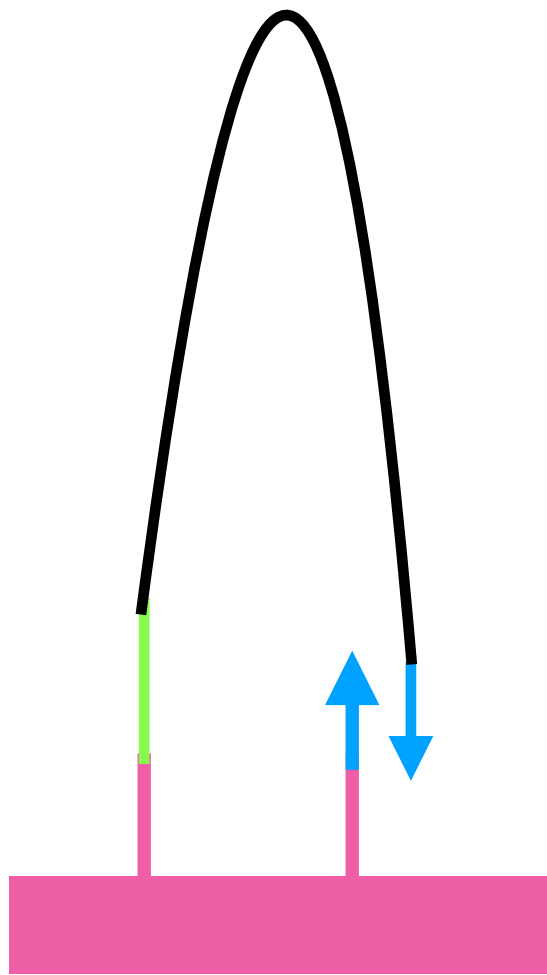
Парно-концевые риды

Paired-End sequencing



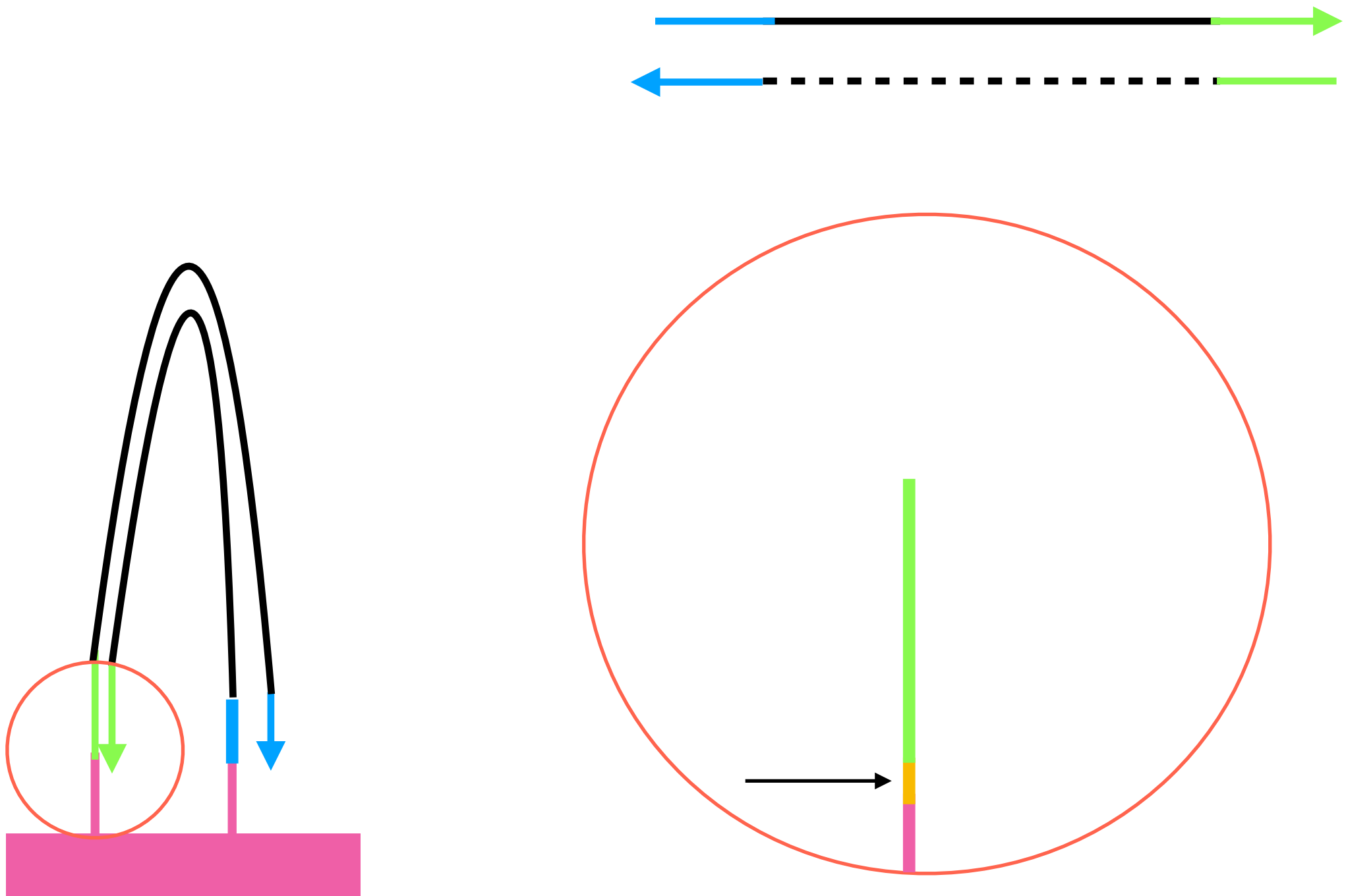
Парно-концевые риды

Paired-End sequencing



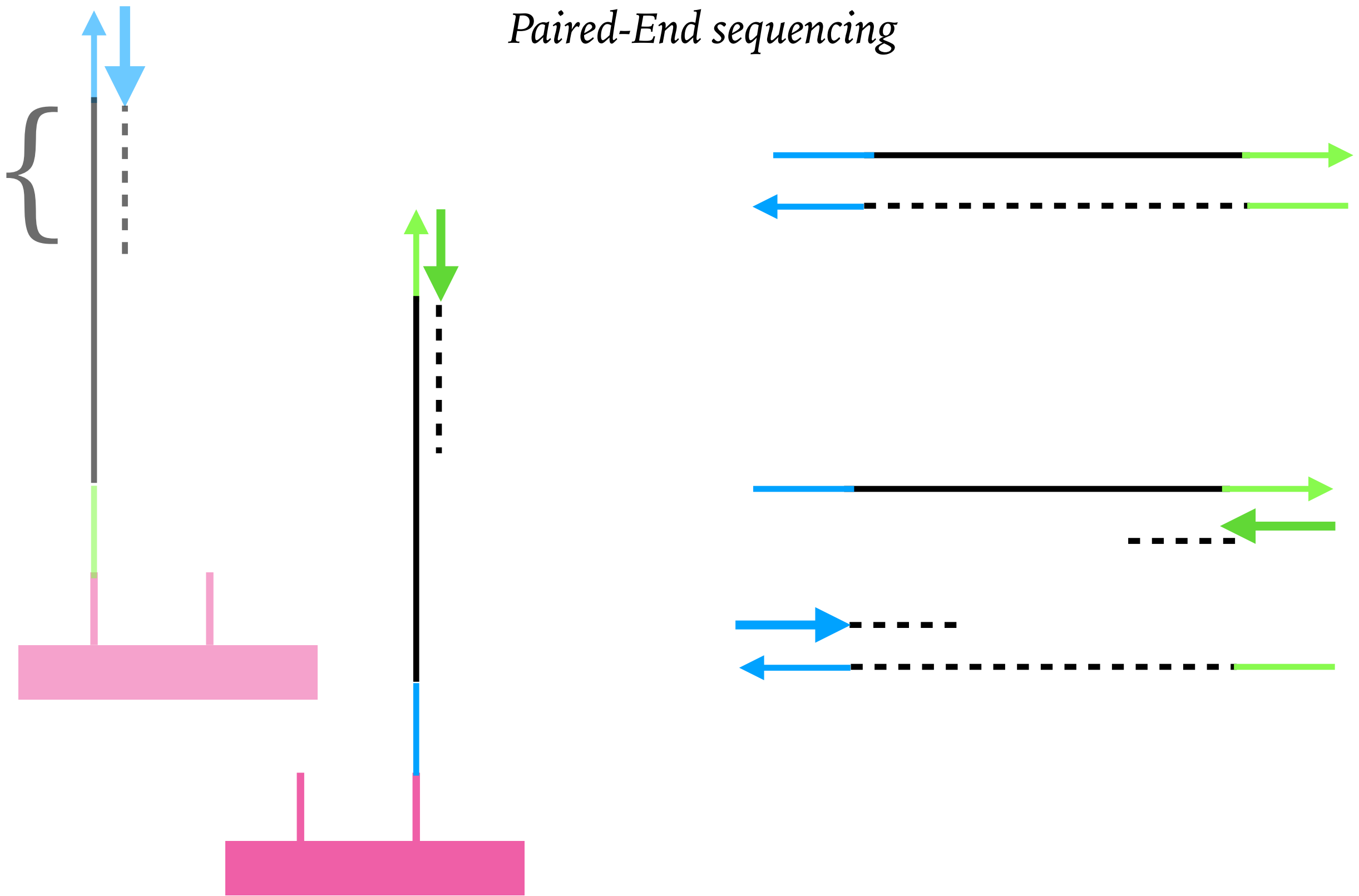
Парно-концевые риды

Paired-End sequencing



Парно-концевые риды

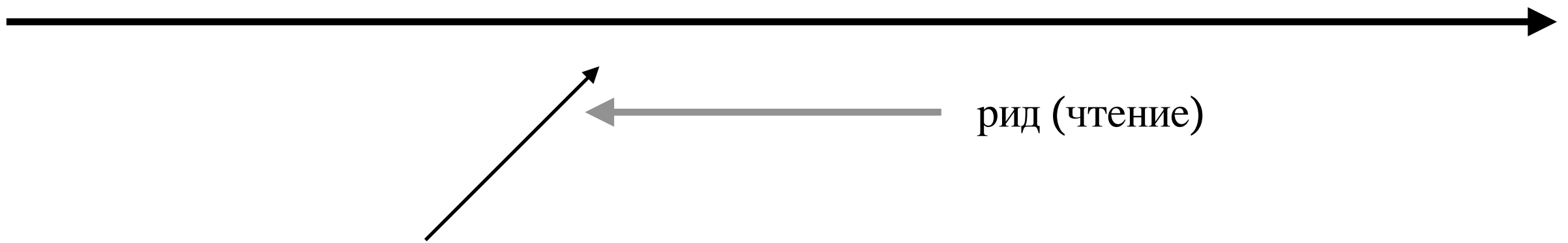
Paired-End sequencing



Термины

связанные с картированием чтений

референс (геном, сборка, скаффолд, контиг)



выравнивание / картирование

Основные понятия:

multimapper / unique mapper / unmapped

парные чтения : concordant mapping

exact match / split-alignment / chimeric alignment

Термины

связанные с картированием чтений



Основные понятия:

multimapper / unique mapper / unmapped

парные чтения : concordant mapping

exact match / split-alignment / chimeric alignment

Техники, основанные на NGS

Что мы можем понять, используя данные NGS

RNA-seq



ChIP-seq

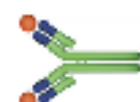
Hi-C

MNase-seq

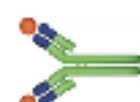
CLIP-seq



NET-seq



Ribo-seq



CAGE-seq

ATAC-seq

Exome-seq



Single-cell: да или нет?

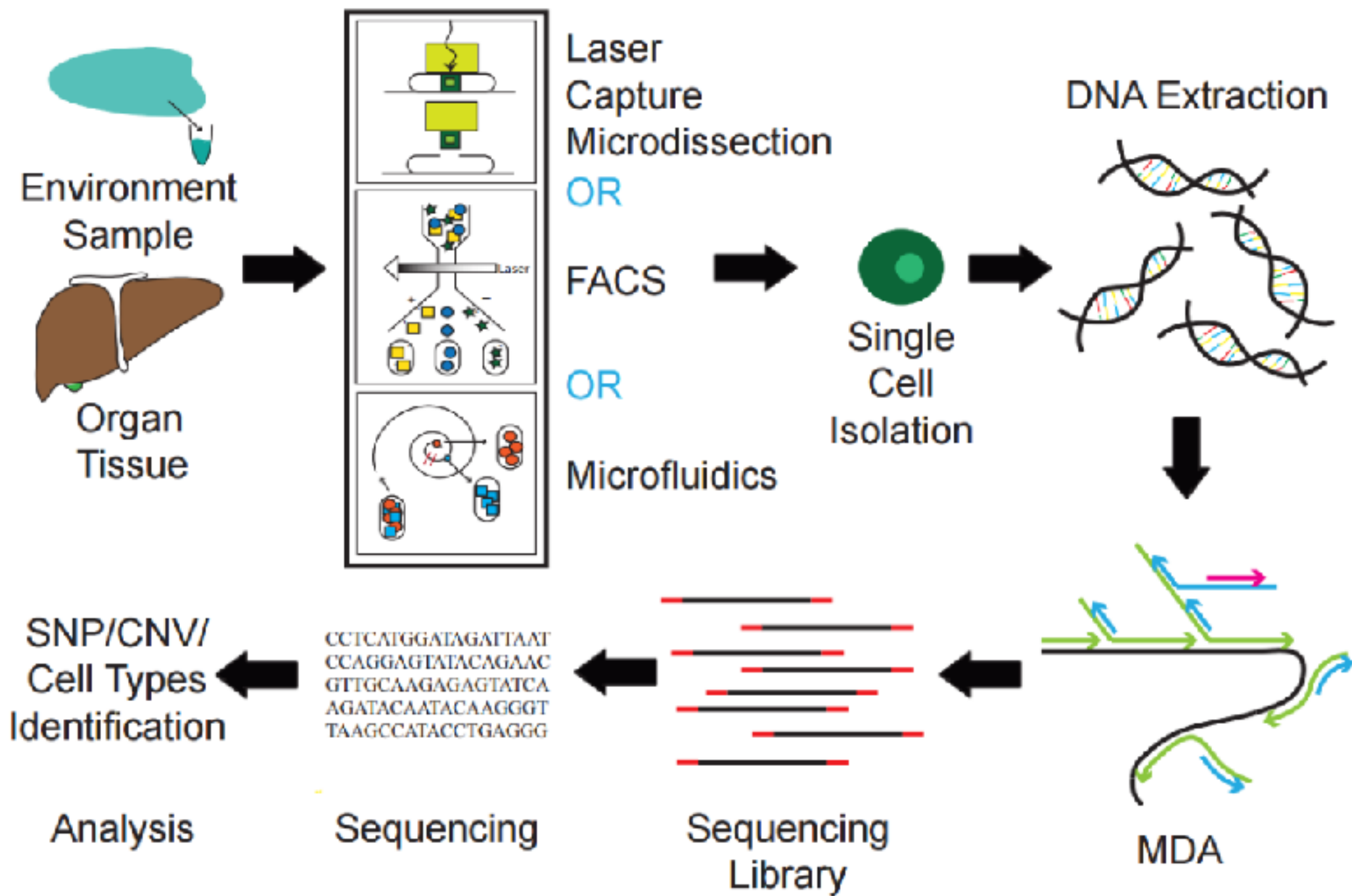
Подход позволяет получить информацию о:

- Некультивируемых микроорганизмах (часто единственный возможный путь изучения)
- Редких типах клеток
- Гетерогенных образцах
- Полиморфизме соматических тканей
- Изменениях в клеточных линиях
- Развитии заболеваний

Отрицательные стороны подхода – более насущными становятся проблемы:

- ◆ Деградации и потери материала
- ◆ Контаминации

Single-cell protocol

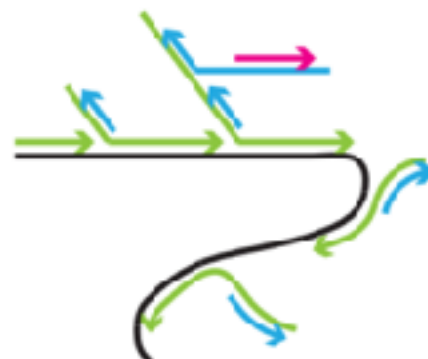


Single-cell protocol

Multiple Displacement Amplification

Цель – увеличить количество ДНК, получаемое от одной клетки, до необходимого для секвенирования: от фемтограмм (10^{-12}) к микрограммам (10^{-6})

В реакции используется ДНК-полимераза бактериофага phi29 и случайные праймеры (random primers). В ходе изотермической реакции при 30°C происходит синтез многих копий исходной ДНК с **вытеснением** цепей. Средняя длина продукта – 12 т.п.н. (до 100 т.п.н.)

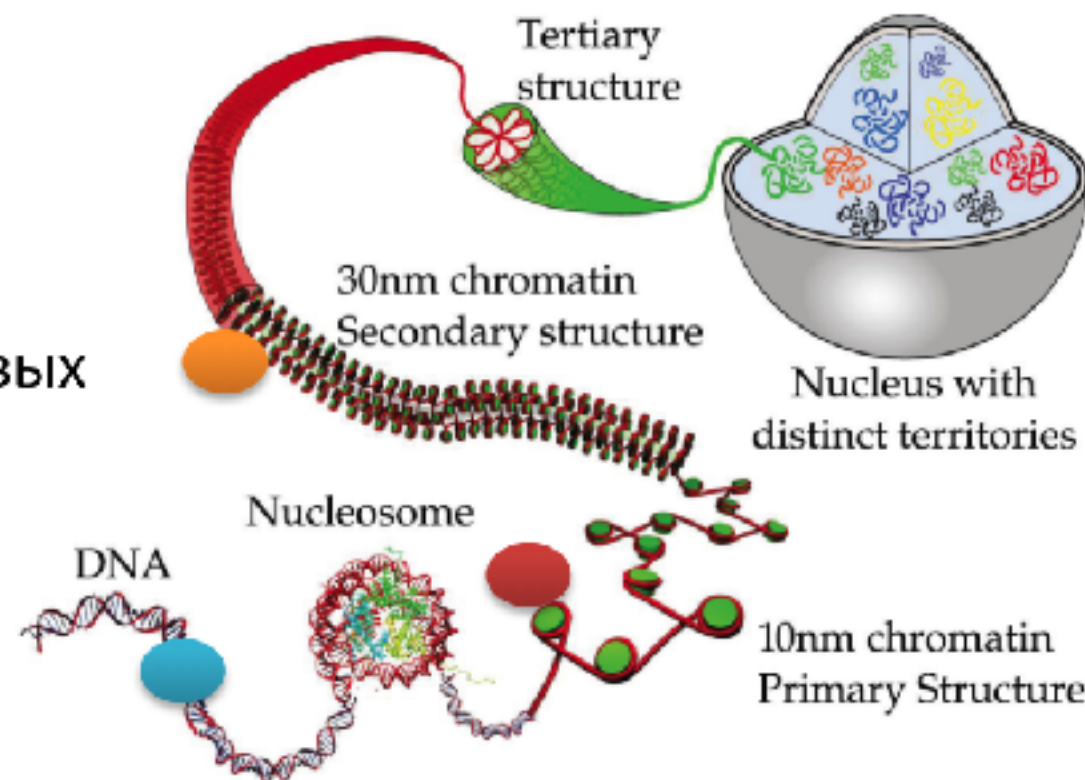


Слабая сторона: неравномерная амплификация – некоторые участки могут быть перепредставлены, некоторые утеряны

DNA-DNA / DNA-Protein Interactions

HiC / ChIPSeq

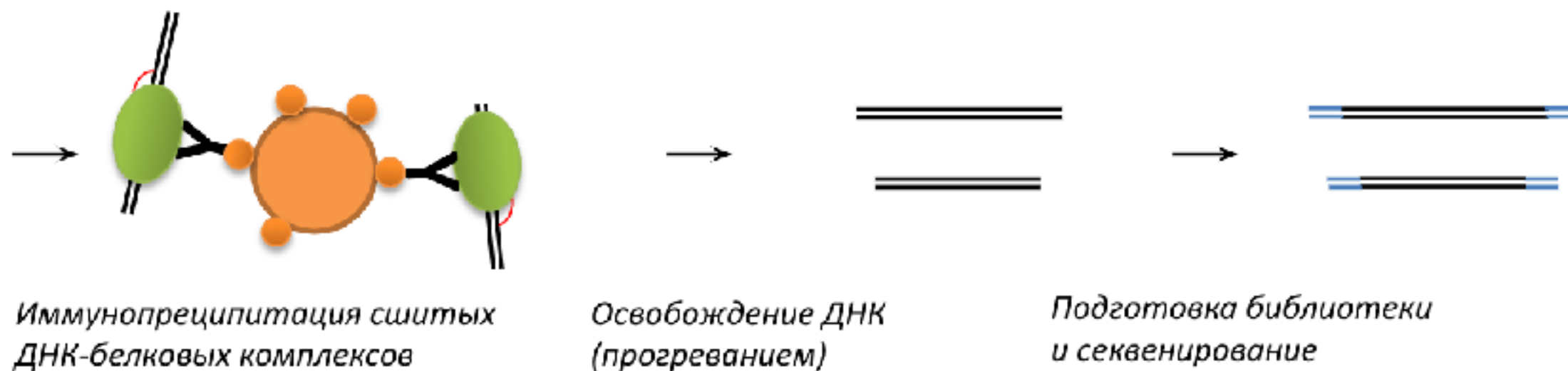
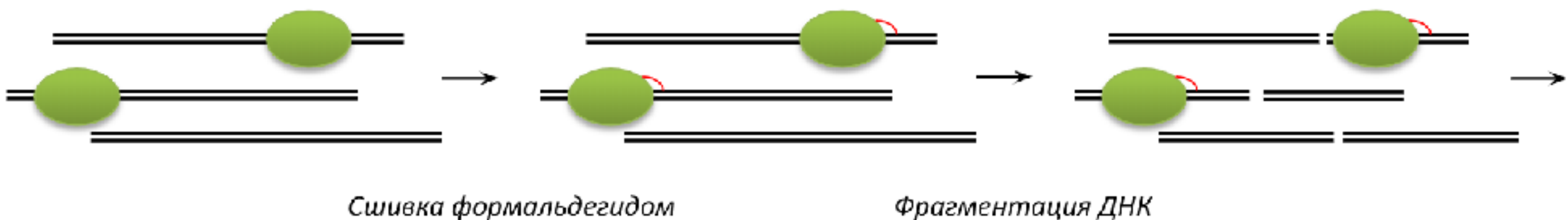
Изучение ДНК-белковых взаимодействий



Изучение
пространственной
организации

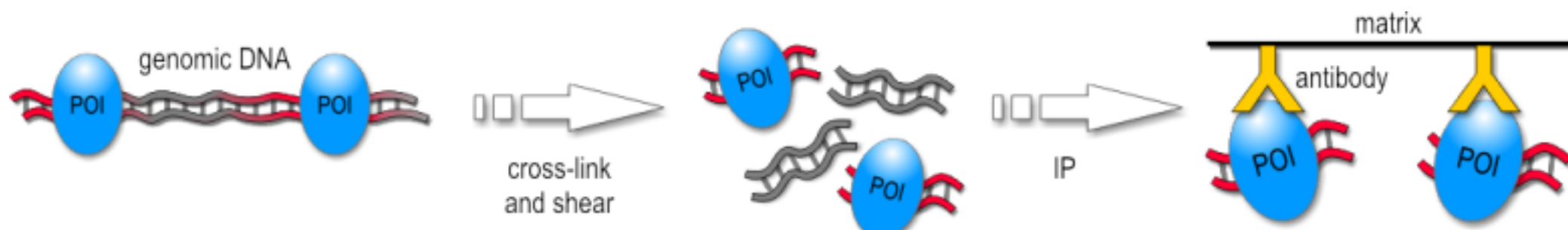
ChIPSeq

"Wet-lab"

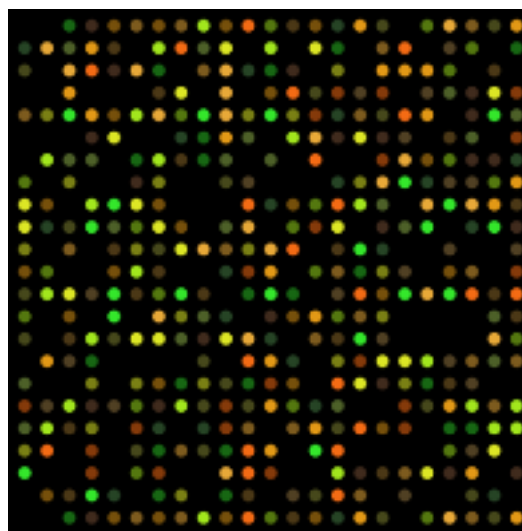


ChipSeq

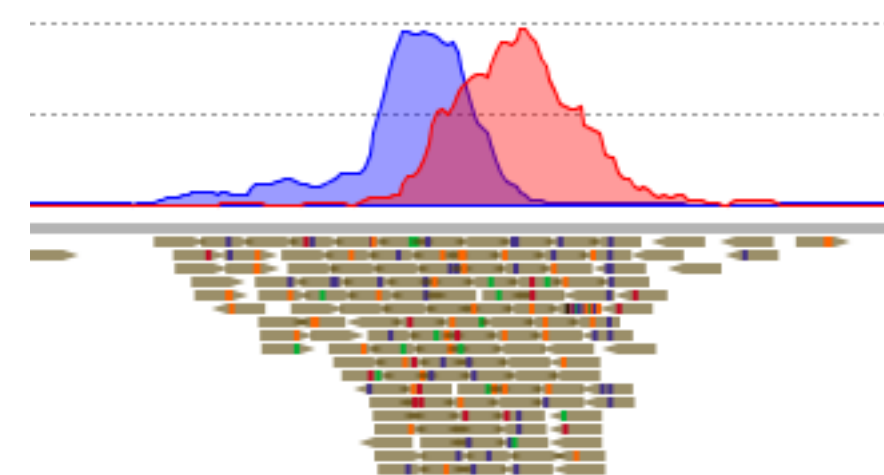
Mapping of DNA-protein contacts



Chip-on-Chip

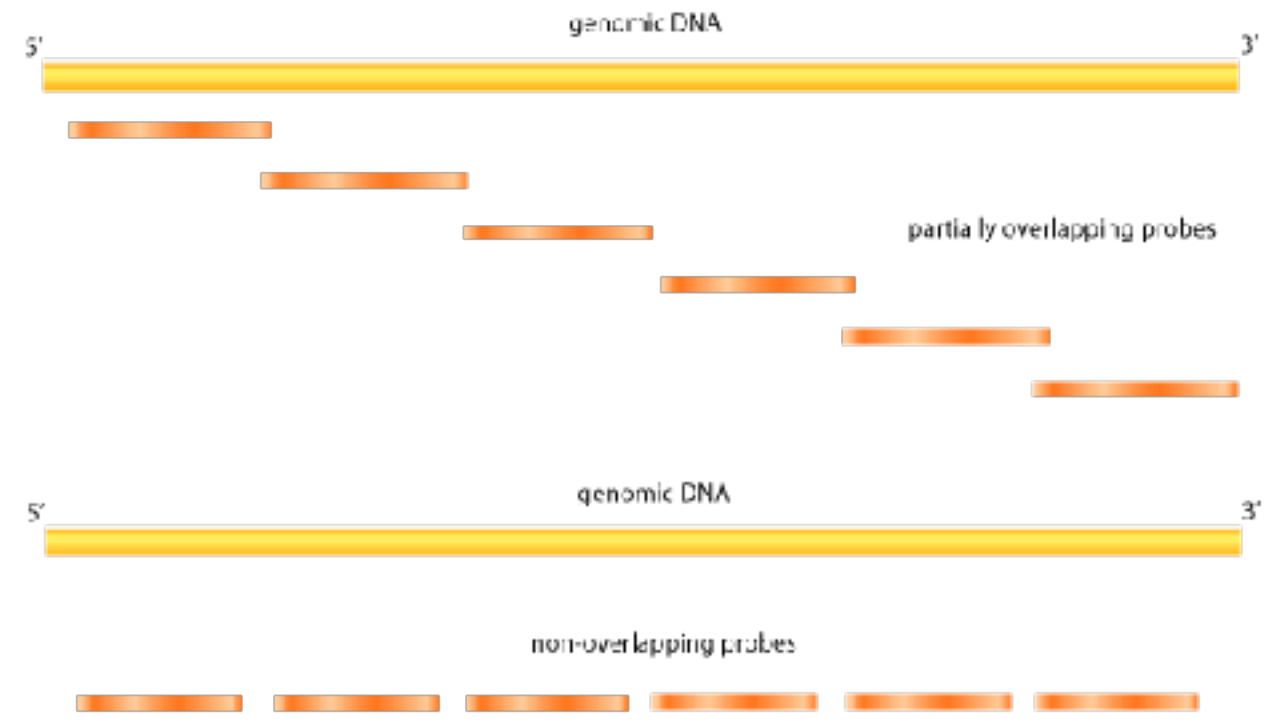


Chip-Seq



Chip-on-Chip

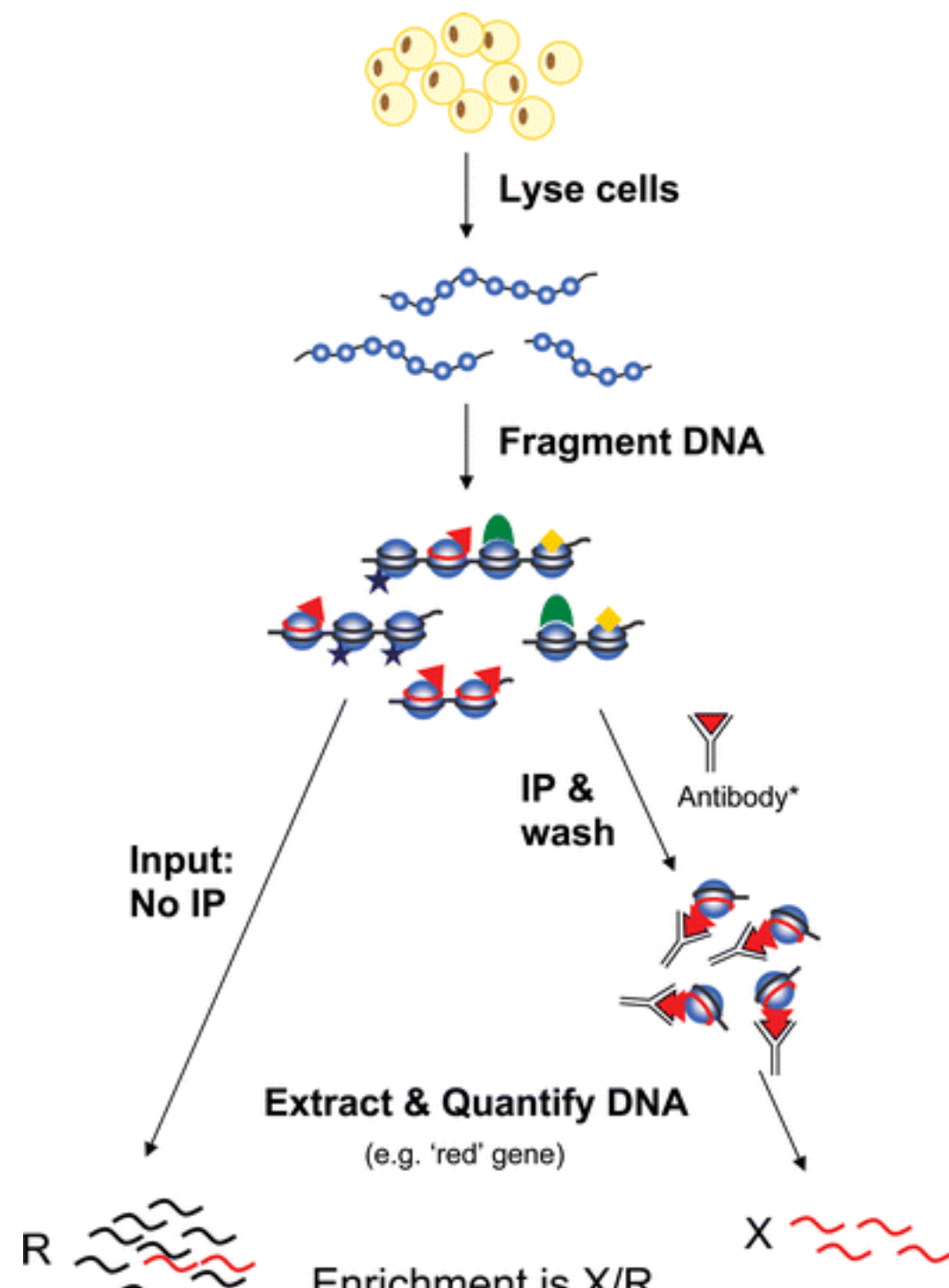
Enrichment of target fragments detection



Affymetrix, NimbleGene, Agilent

ChipSeq

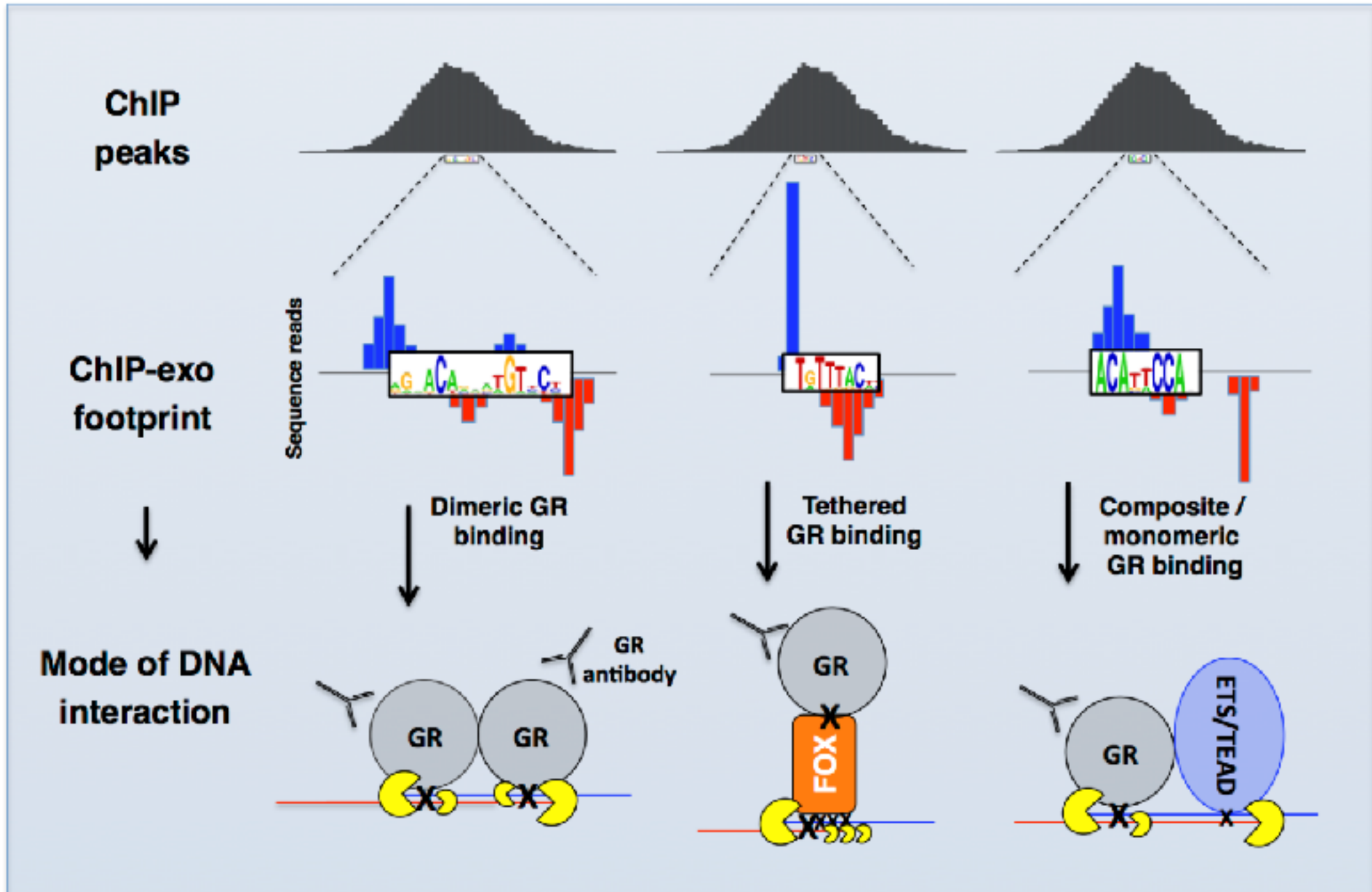
Enrichment of target fragments detection



*Note: Antibody used can be specific or non-specific (e.g. IgG)

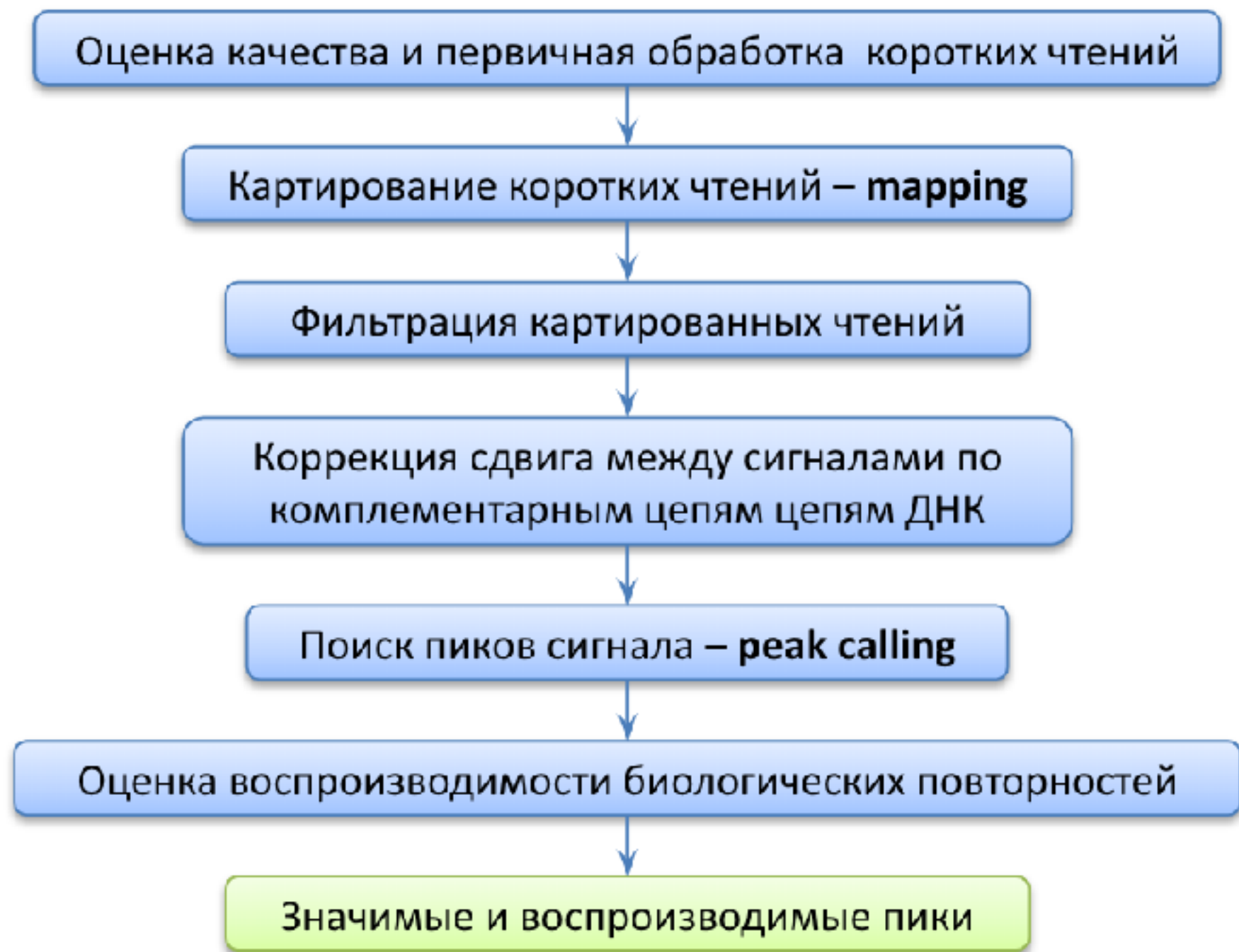
ChipExo

Определение типа взаимодействия



ChipSeq

Pipeline



ChipSeq

Processing



Remove multimappers



Remove duplicates

Remove low-quality reads

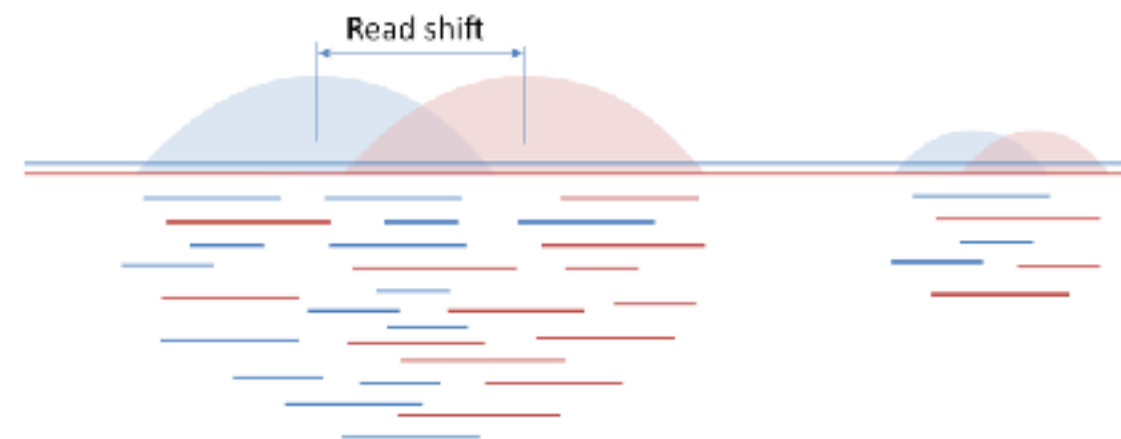


ChipSeq

Tag shift correction

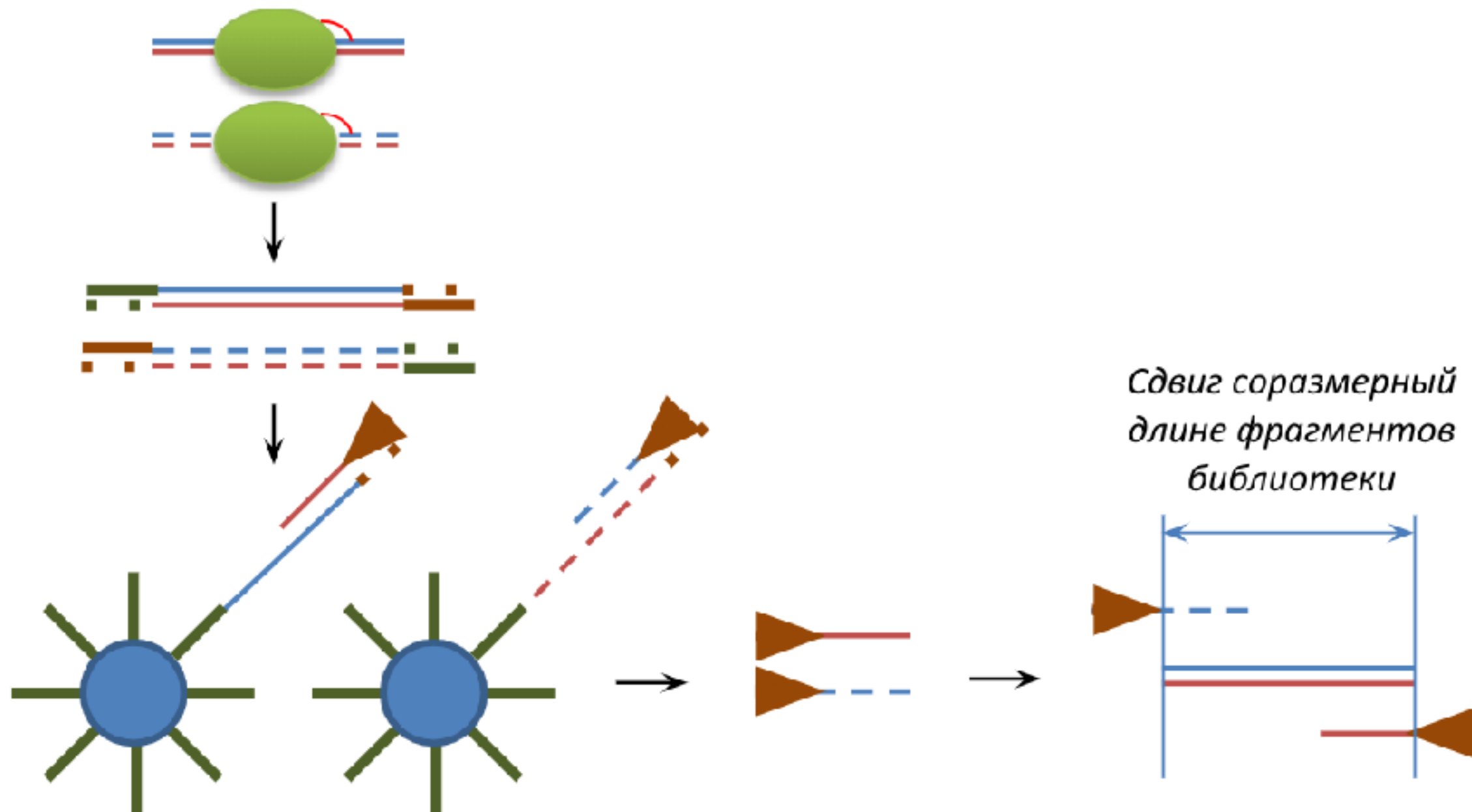


Detect peak



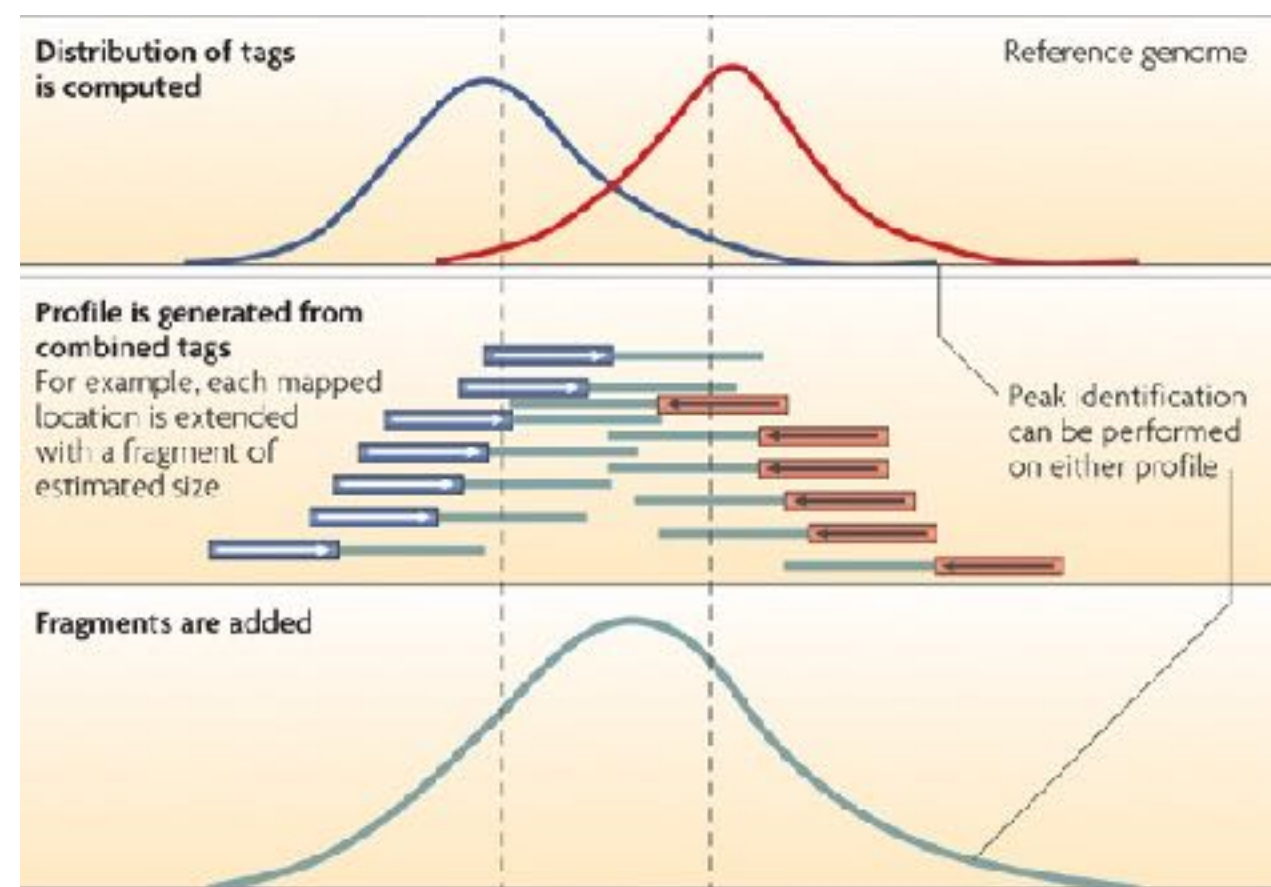
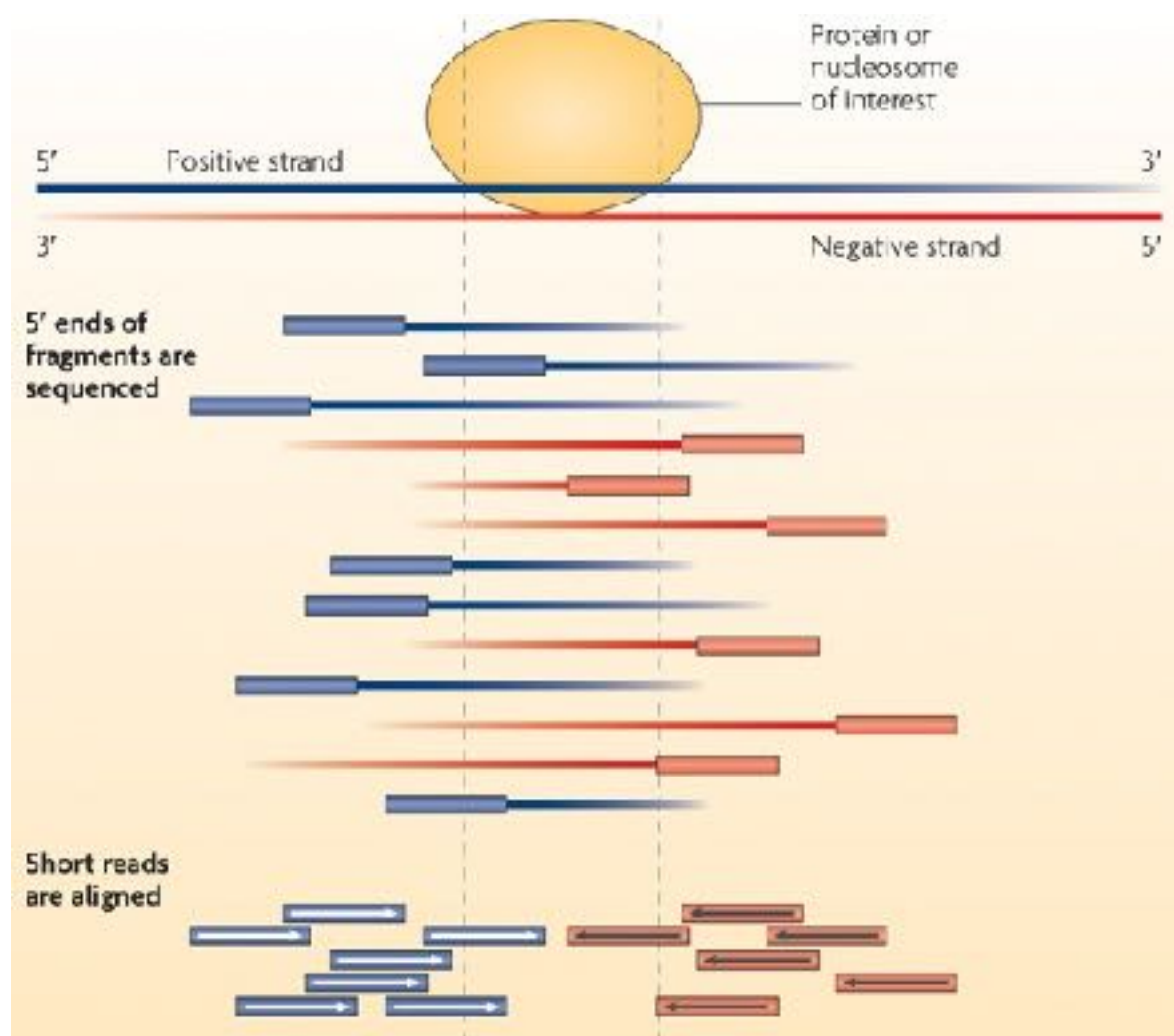
ChipSeq

Why tags are shifted?



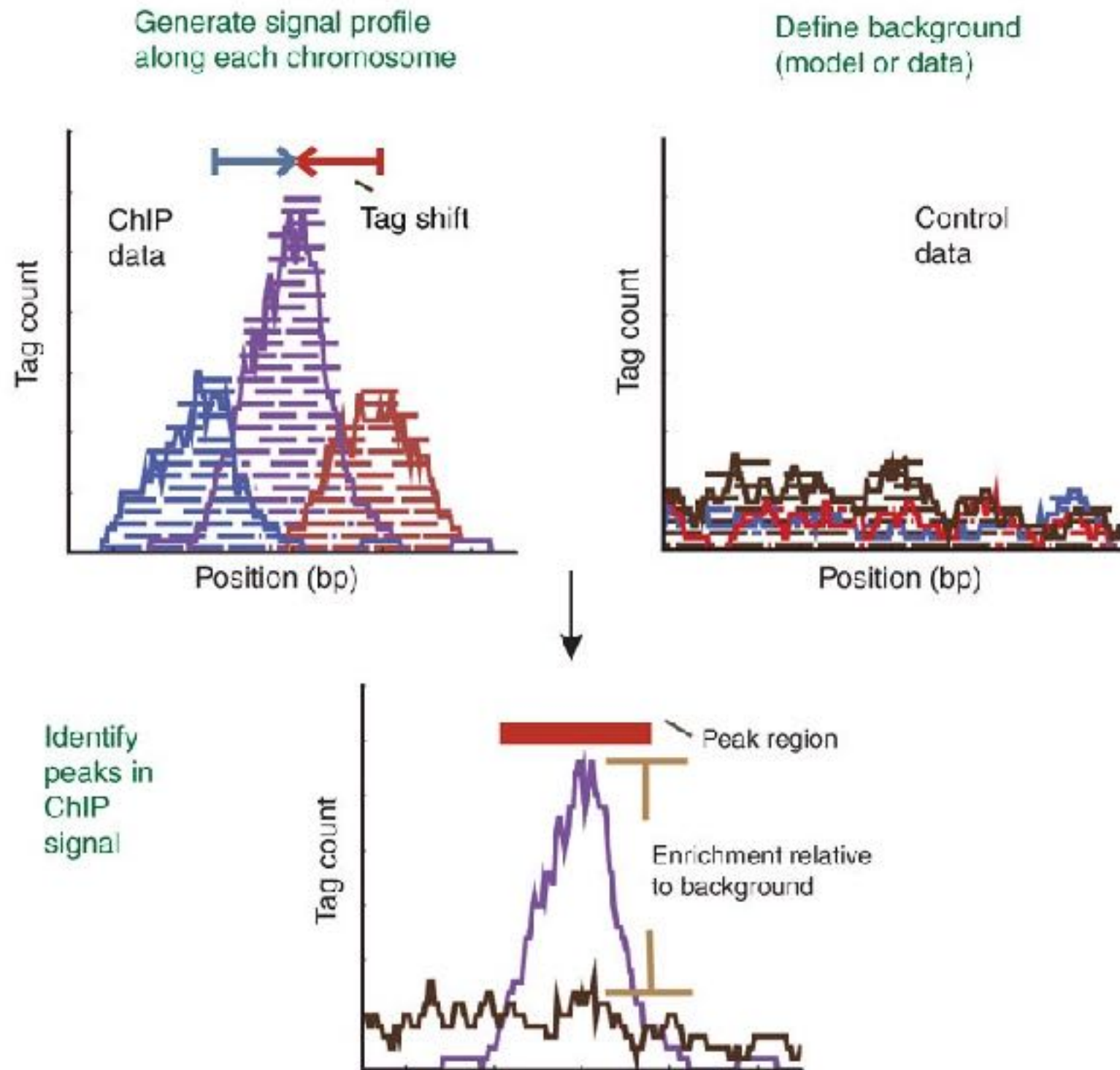
ChIPSeq

Tag shift corrected



ChIPSeq

Pipeline



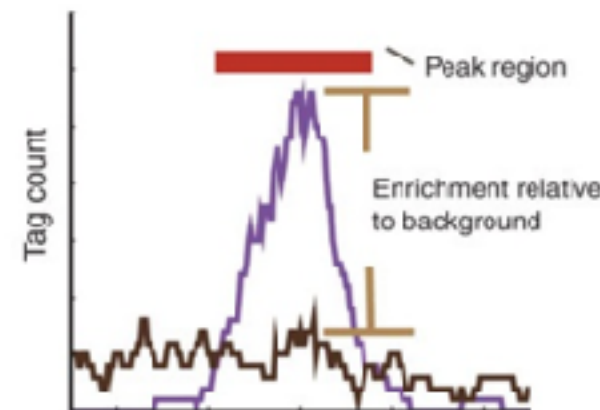
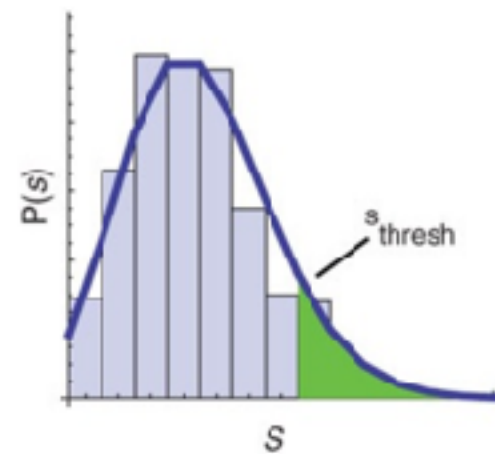
ChipSeq

Enrichment detection

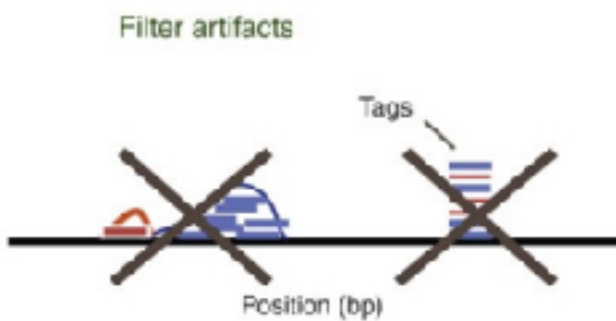


Какова вероятность обнаружить такое количество чтений в окне шириной d нт?

p-value, q-value, FDR (false discovery rate)



Pepke et al. (2009) Nature Methods. 6



2 основных типа артефактных сигналов:

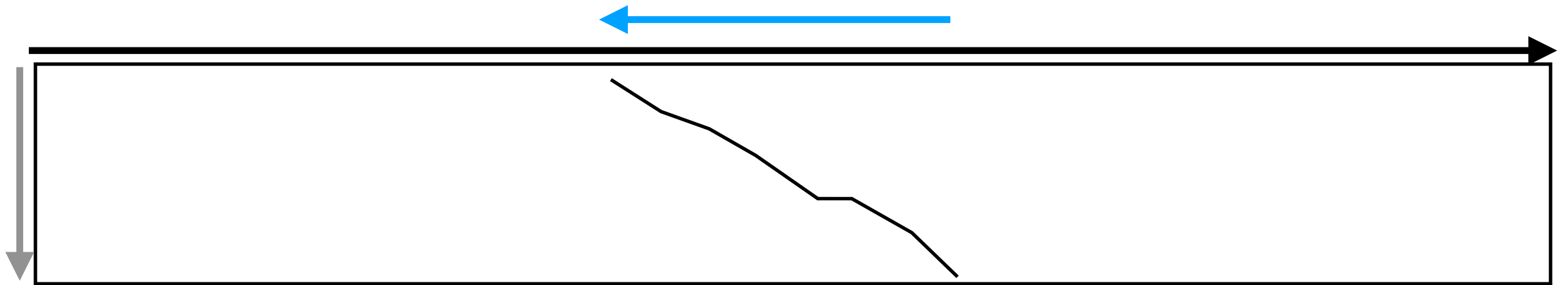
- пики со значительным различием в покрытии по комплементарным цепям
- пики с одним чтением или очень небольшим количеством чтений

Картирование



Как быстро и качественно получить сигнал?

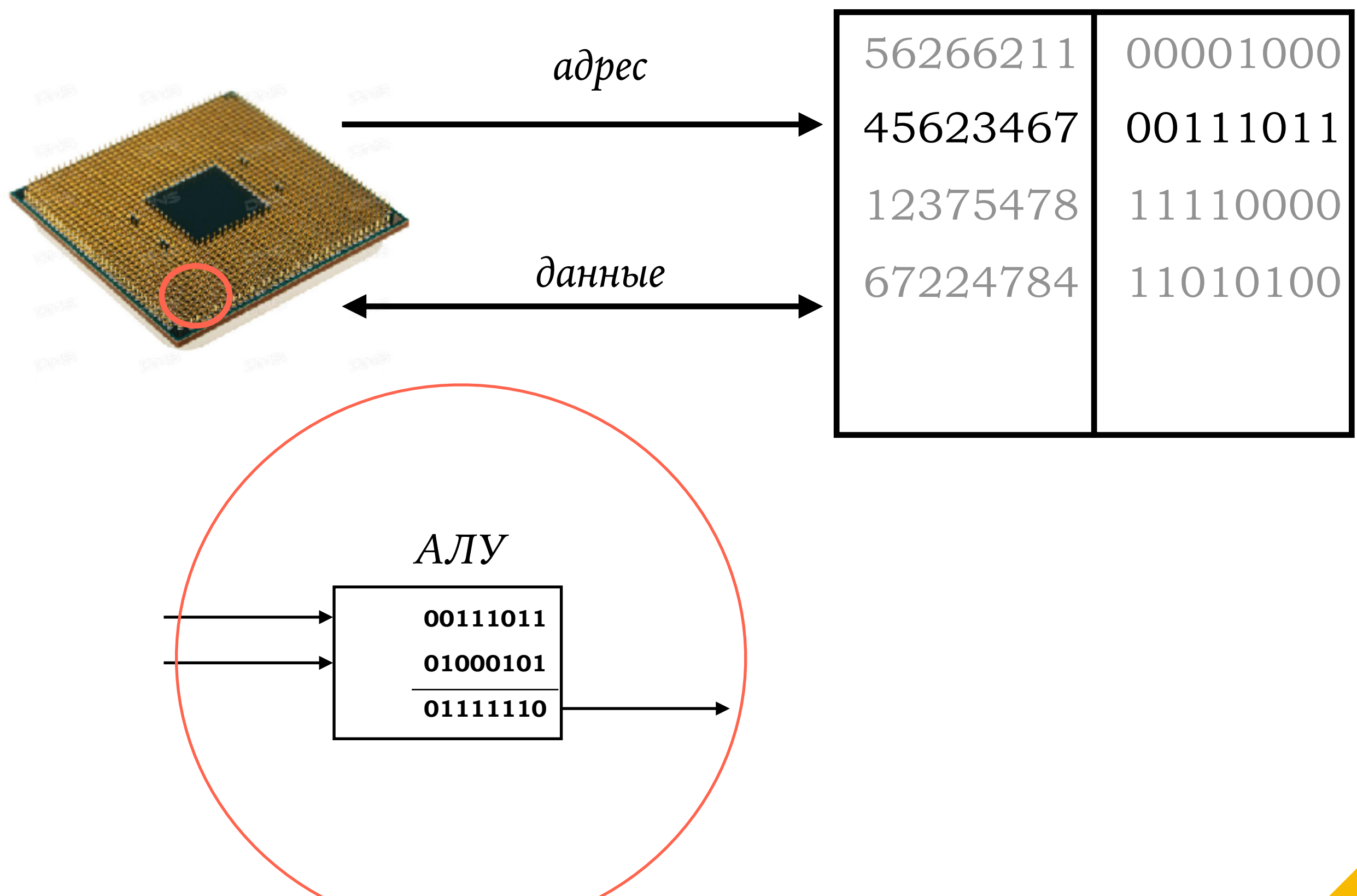
Mapping



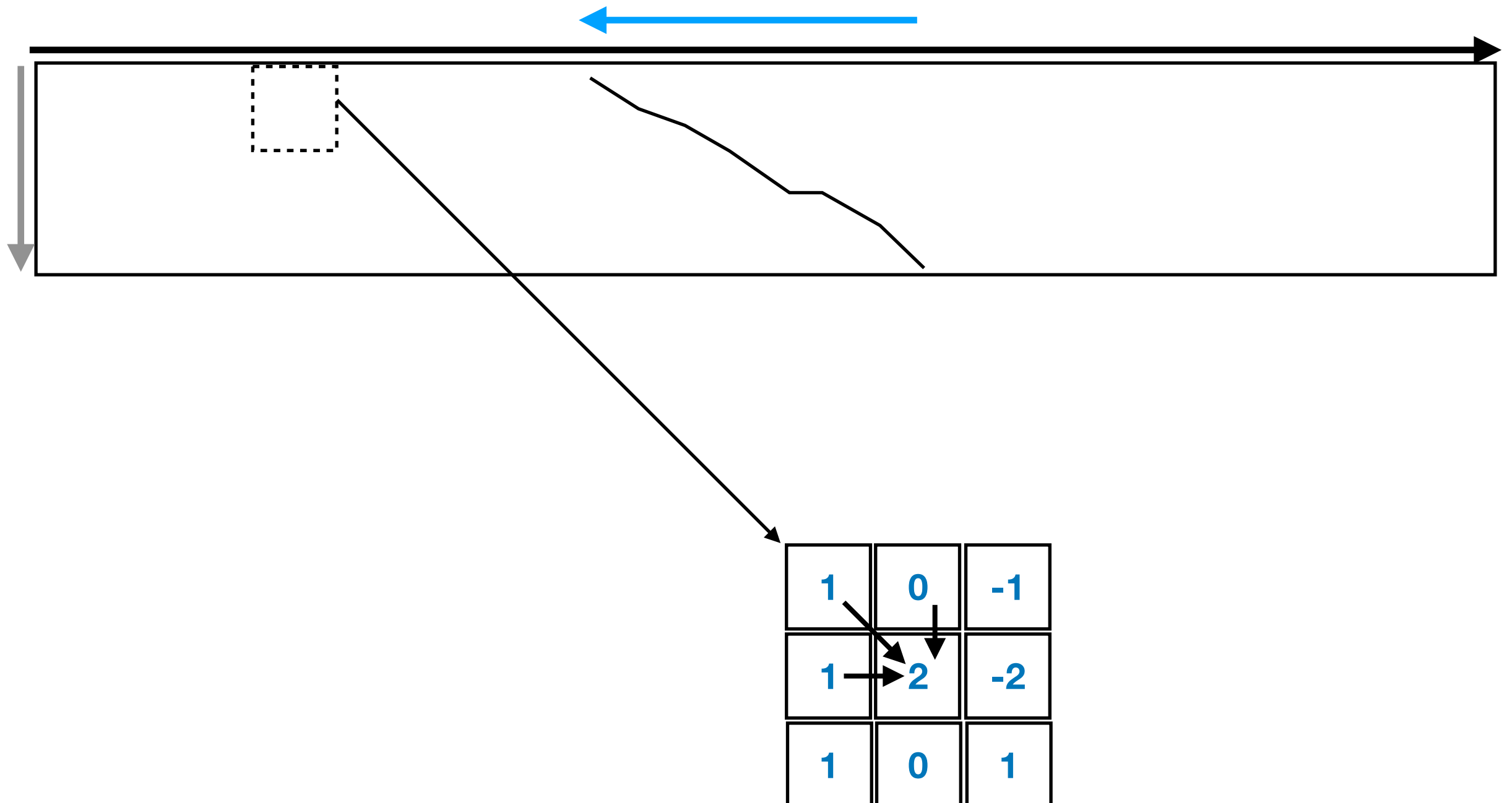
Займет $\sim O(kN \times M)$

К тому же, с довольно плохой константой $k (= 6)$

Немного о big-O

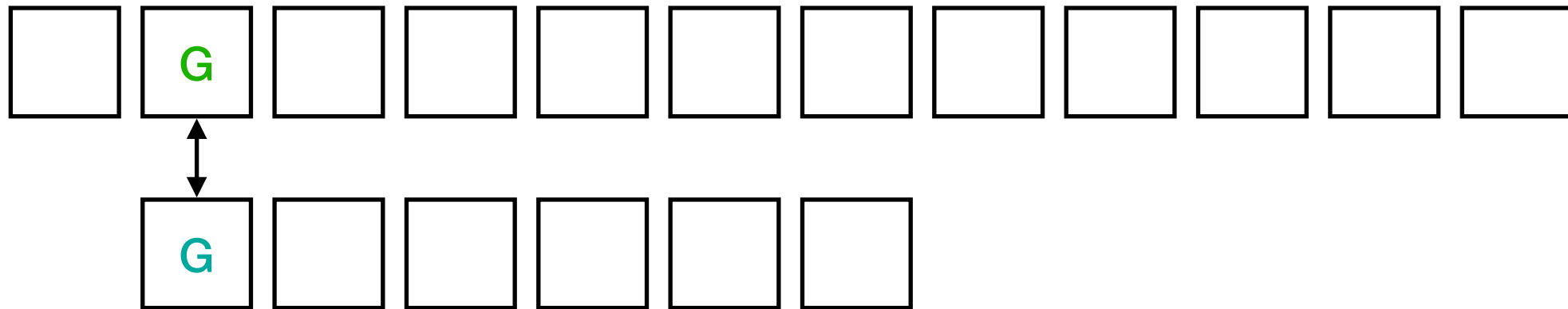


Mapping

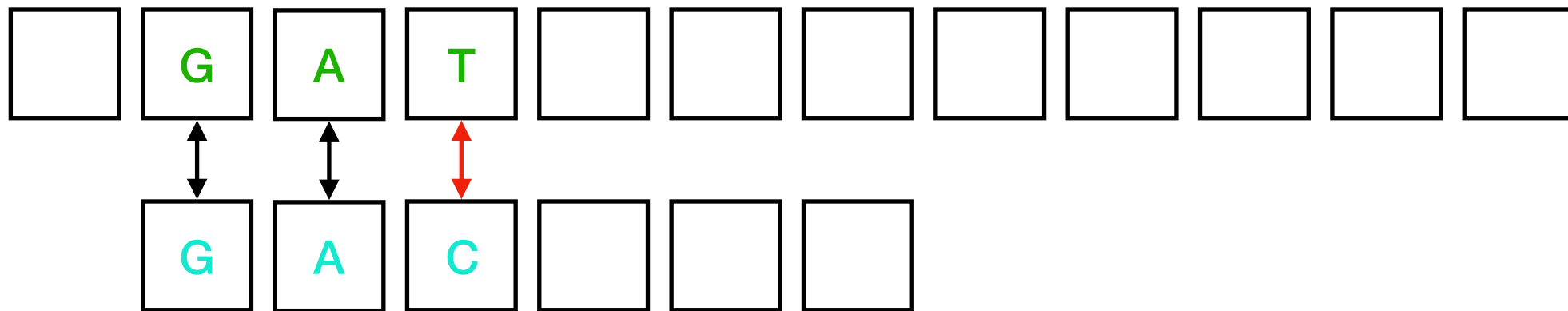


Mapping

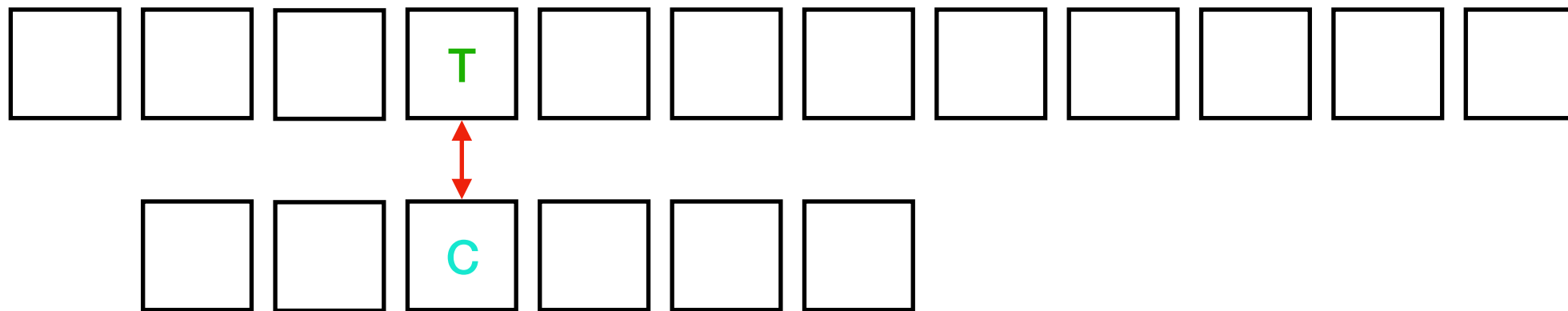
Попробуем exact pattern match?



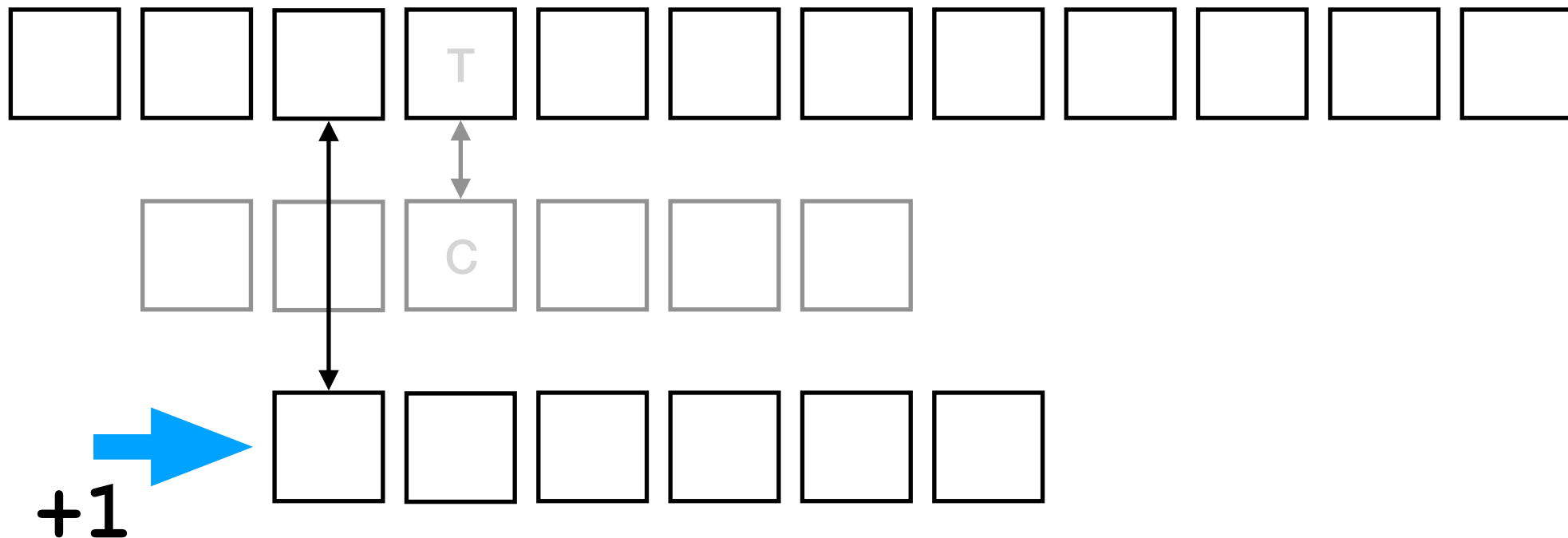
Mapping



Mapping



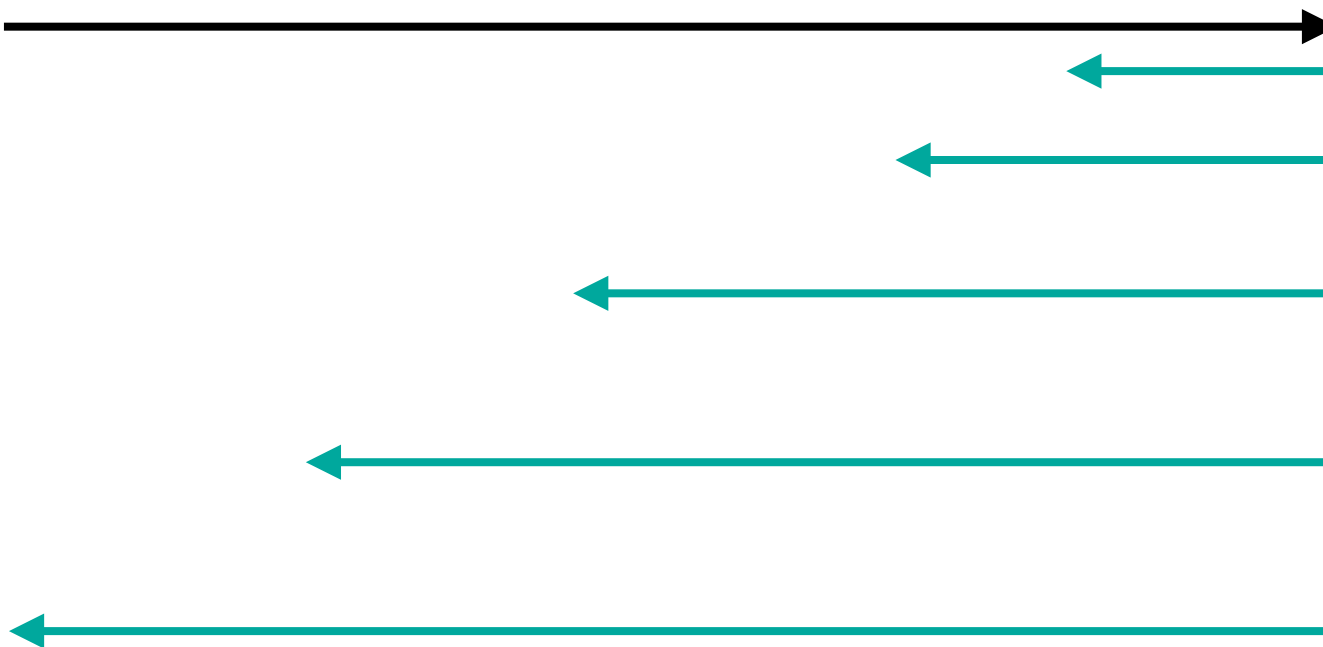
Mapping



"Наивный" алгоритм опять требует $O(N \times M)$ времени
(но уже с лучшей константой)

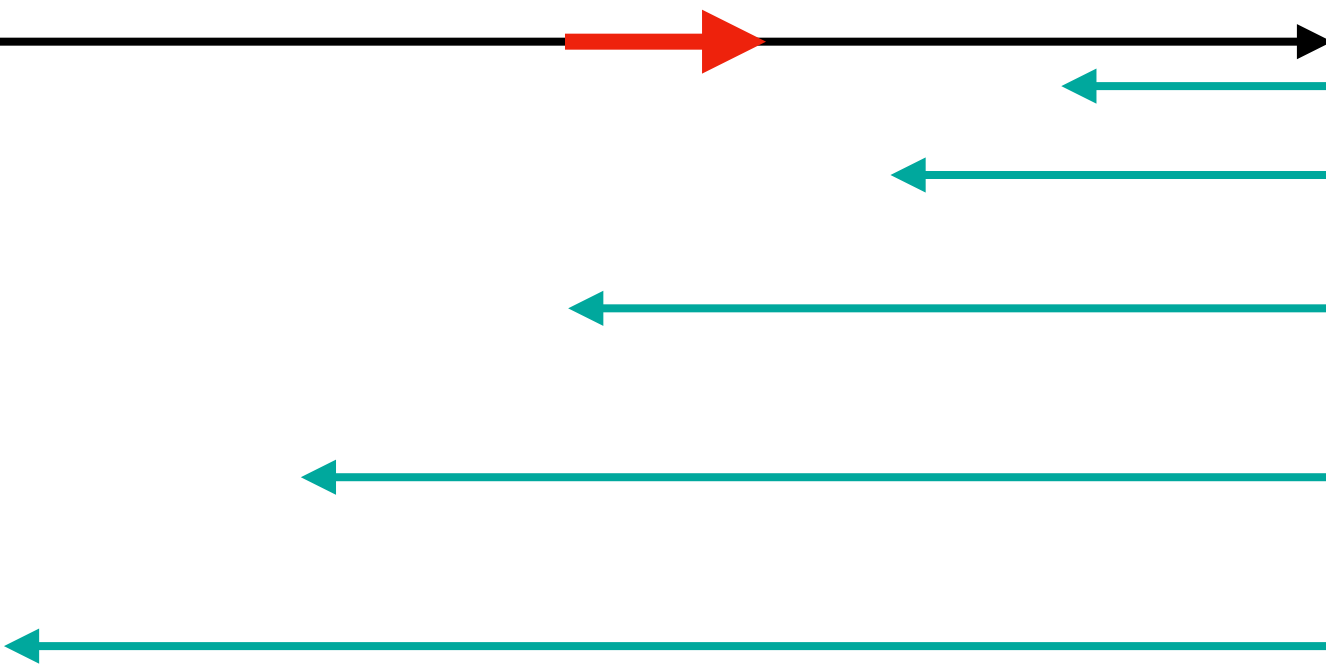
Mapping

Не решить задачу в 6 раз быстрее -
всё равно не решить задачу



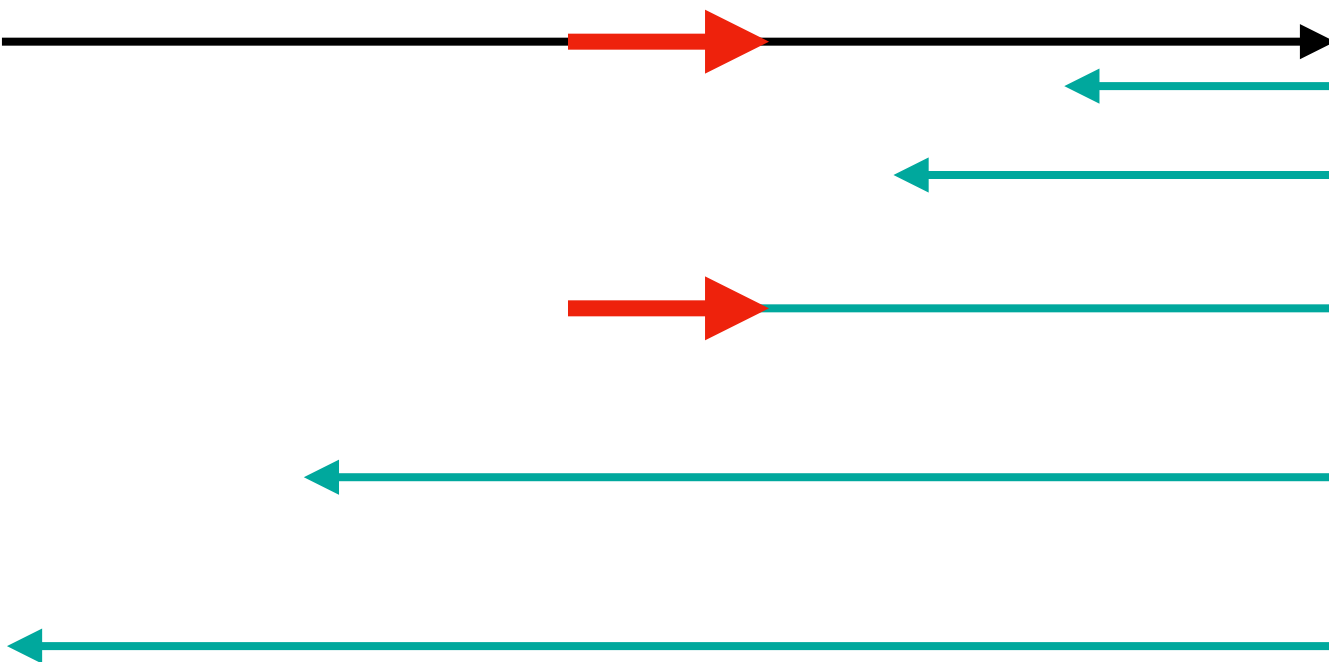
Mapping

Менее тривиальное решение



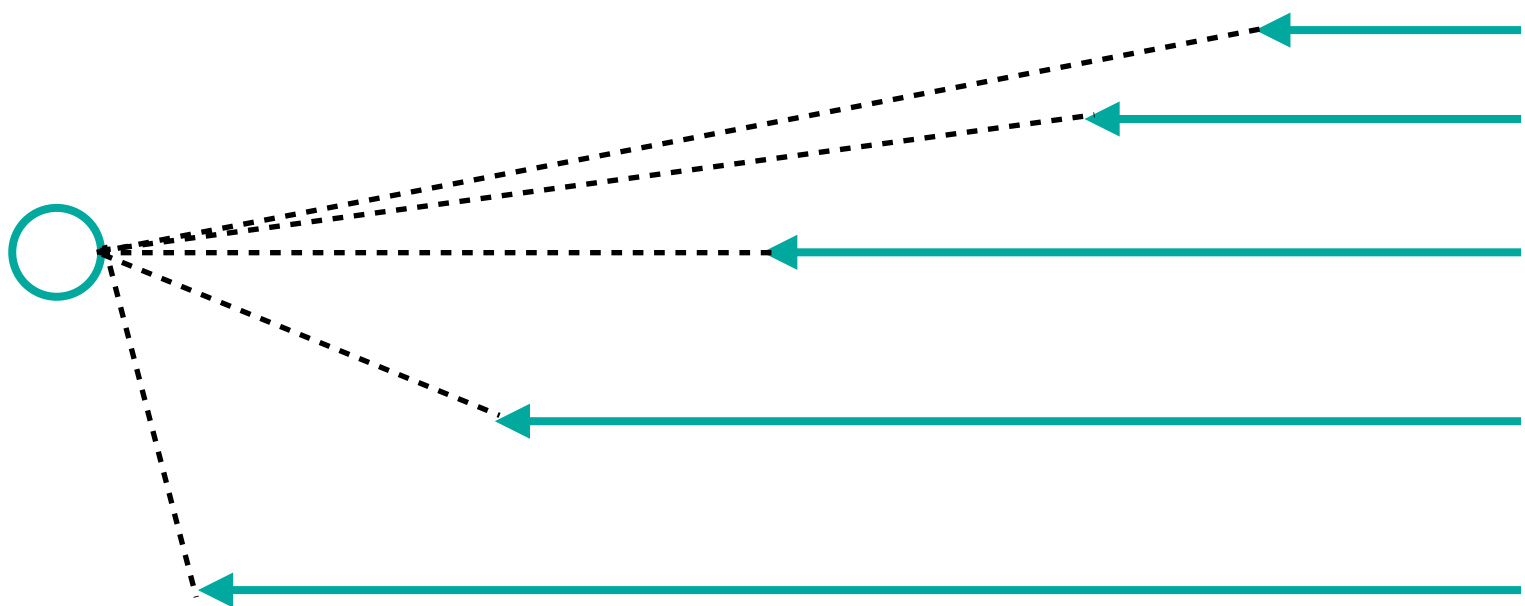
Mapping

Подстрока исходной строки
есть префикс какого-то
суффикса исходной строки



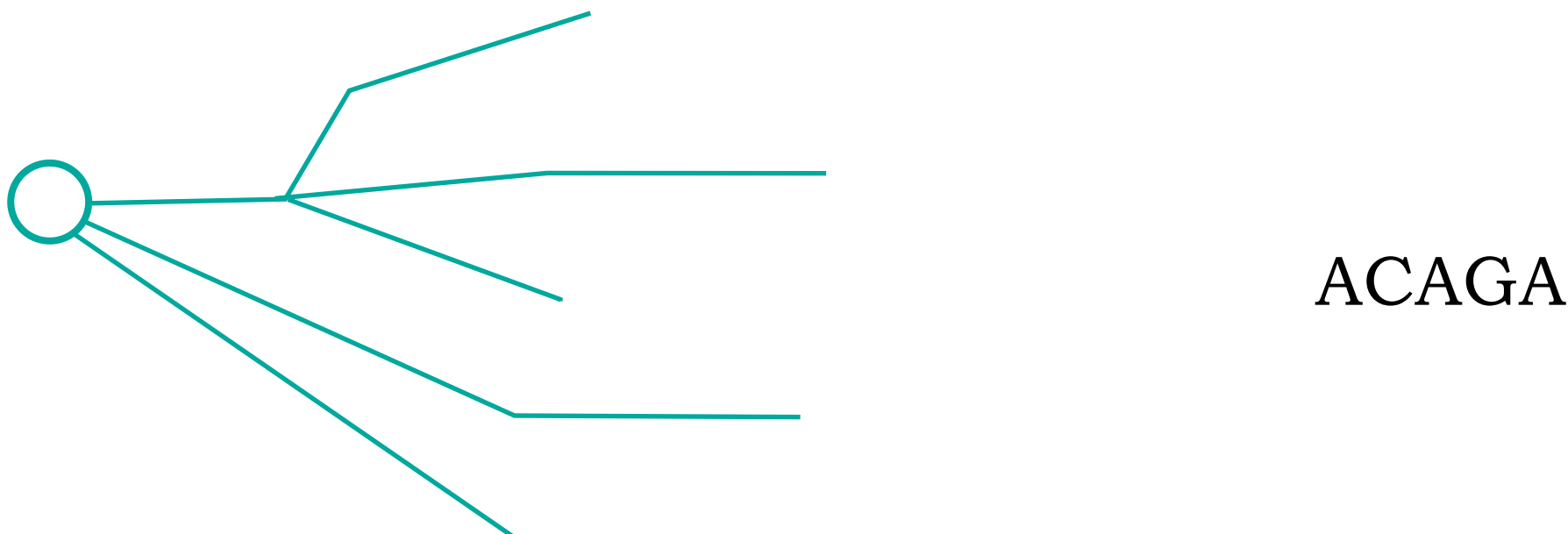
Mapping

Подстрока исходной строки
есть префикс какого-то
суффикса исходной строки



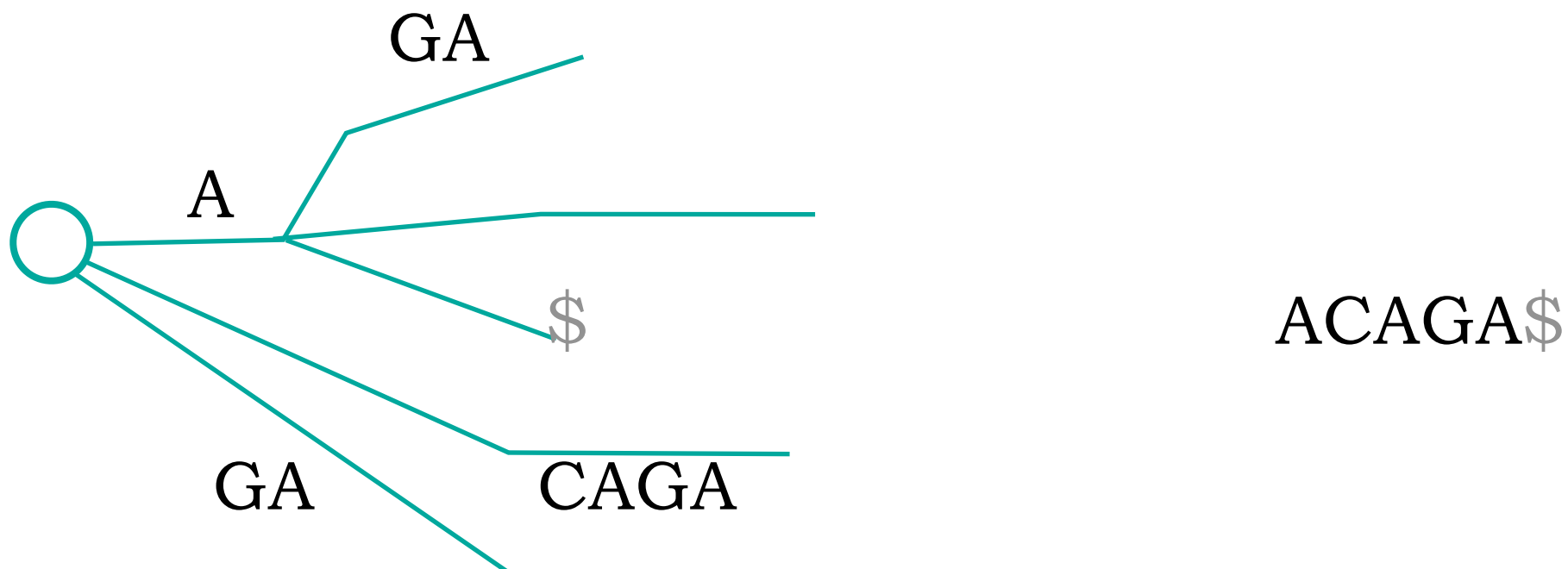
Mapping

Подстрока исходной строки
есть префикс какого-то
суффикса исходной строки



Mapping

Подстрока исходной строки
есть префикс какого-то
суффикса исходной строки



*Поиск по суффиксному дереву потребует
максимум $O(M)$ времени, какой бы
ни был длины текст*

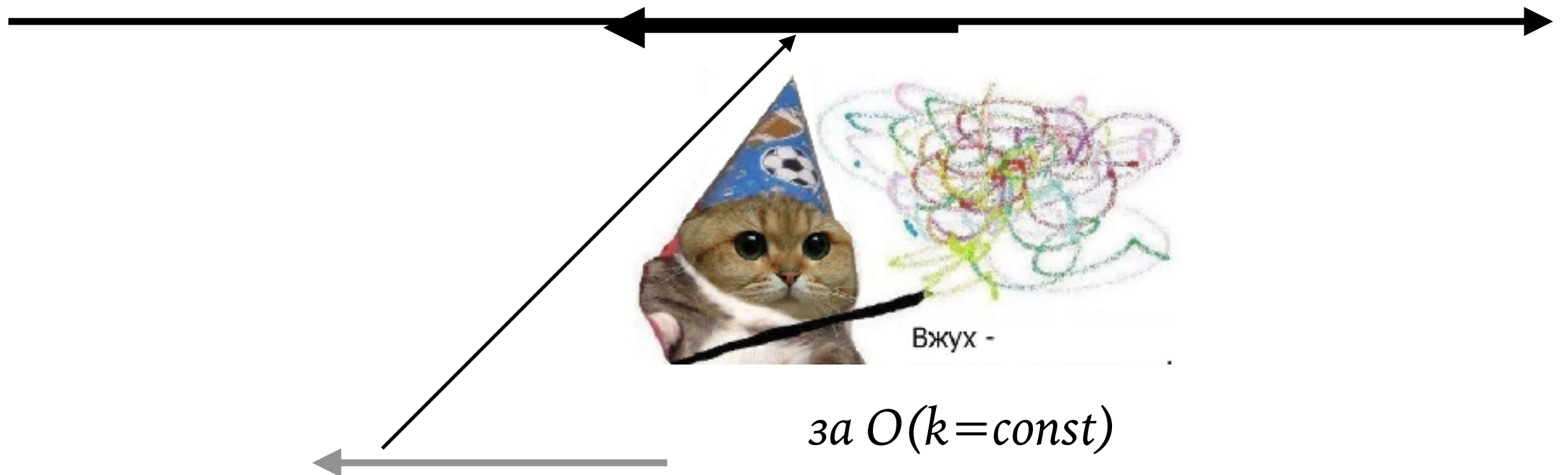
Mapping

Получается ли, что скорость работы алгоритма перестала зависеть от длины генома, в котором мы ищем?

Ура! Теперь мы можем найти рид в геноме человека так же быстро, как в геноме вируса!

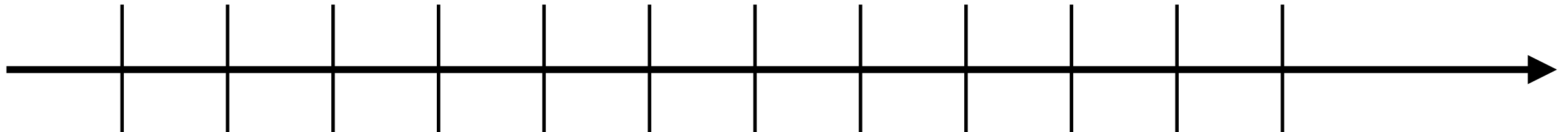
Mapping

А что если так?



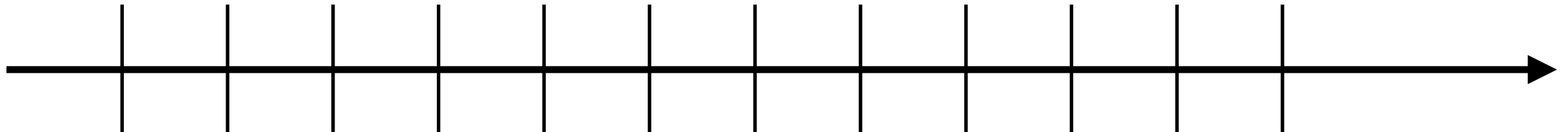
Mapping

Разберем геном на kmer-ы



Mapping

Разберем геном на kmer-ы



зададим функцию отображения,
такую, что:

_____	56266211
_____	45623467
_____	12375478
_____	67224784
$f(kmer) = 32bit\ integer$	

Mapping

А теперь вычислить $f(\text{read})$



→

56266211

$f(kmer) = 32\text{bit integer}$

56266211
45623467
12375478
67224784

Mapping

12375478

45623467

56266211

67224784



{ scaffold378; 12,234,568 }

Mapping

12375478

45623467

56266211

67224784



{ scaffold211; 500,528
scaffold002; 1,345,233
}